# NEUTRONES EN RÁFAGAS SOLARES: CLAVES PARA ENTENDER LA ACELERACIÓN DE PARTÍCULAS EN EL SOLVEN EL UNIVERSO

#### J.F. Valdés-Galicia!

L. X. González<sup>1</sup>, E. Ortiz<sup>1</sup>,

A. Hurtado<sup>1</sup>, O. Musalem<sup>1</sup>, R. Garcia-Ginez<sup>1</sup>, M. Anzorena<sup>1</sup>, Y. Nagai<sup>2</sup>, Y. Itow<sup>2</sup>, Y. Matsubara<sup>2</sup>, D. López<sup>2</sup>, Y. Muraki<sup>2</sup>, T. Sako<sup>2</sup>, Y. Sasai<sup>2</sup>, K. Watanabe<sup>4</sup>, S. Shibata<sup>3</sup>

- 1. Instituto de Geofísica, Universidad Nacional Autónoma de México, 04510 México, D.F., Mexico
- 2. Institute for the Earth Environment, Nagoya University, Nagoya 464-8601, Japan.
- 3. College of Engineering, Chubu University, Kasugai 48-8501, Japan
- 4. Japan Space Agency, ISAS/JAXA, Kanagawa 229-8510, Japan



### La dinámica de los lazos magnéticos da lugar a las Ráfagas Solares, donde se produce la aceleración de partículas

#### Micro procesos

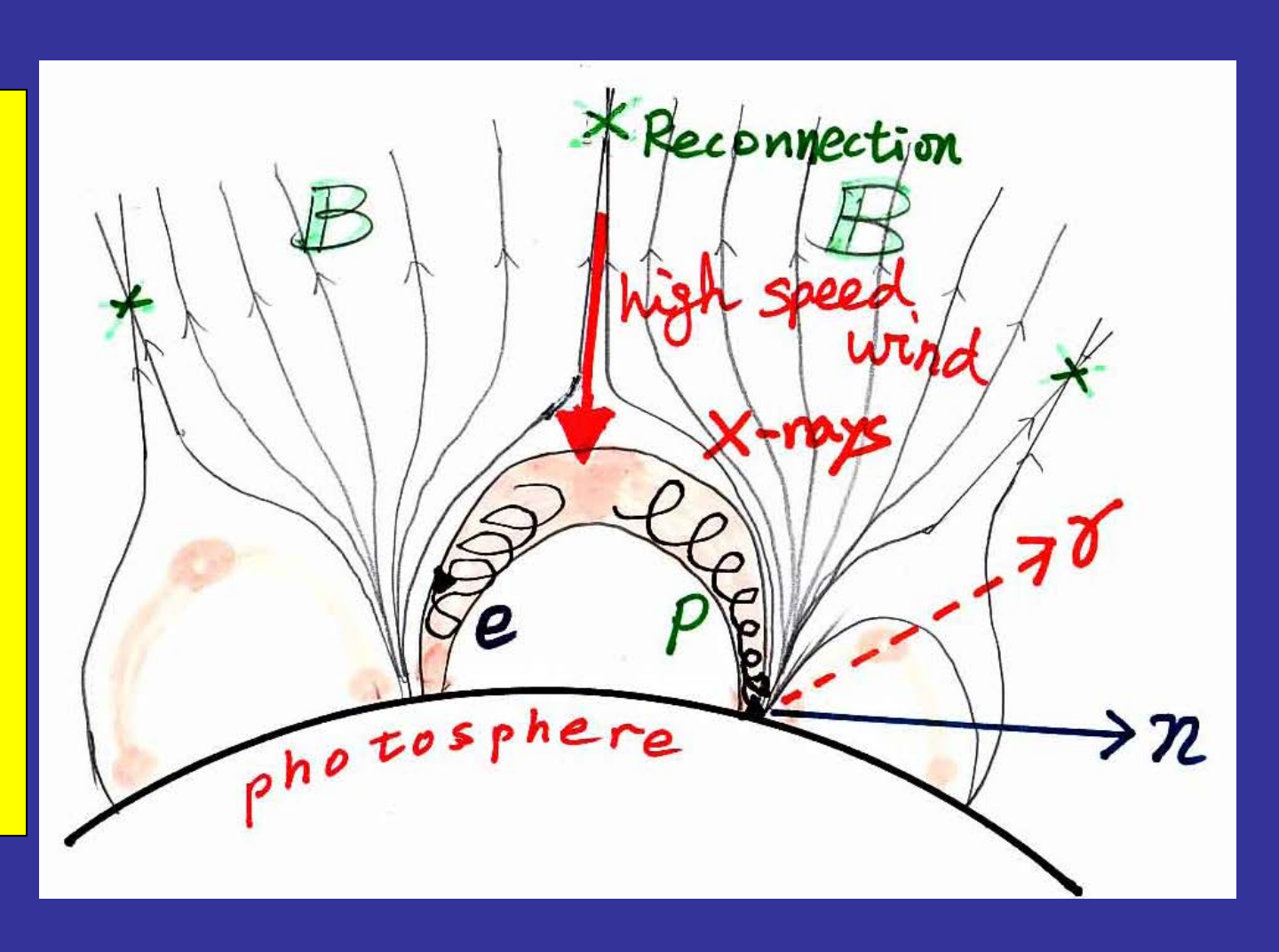
Tensión

Calentamiento del Plasma ~3000km/s

~70sec acc de 20MeV a 10 GeV

Colisiones nucleares

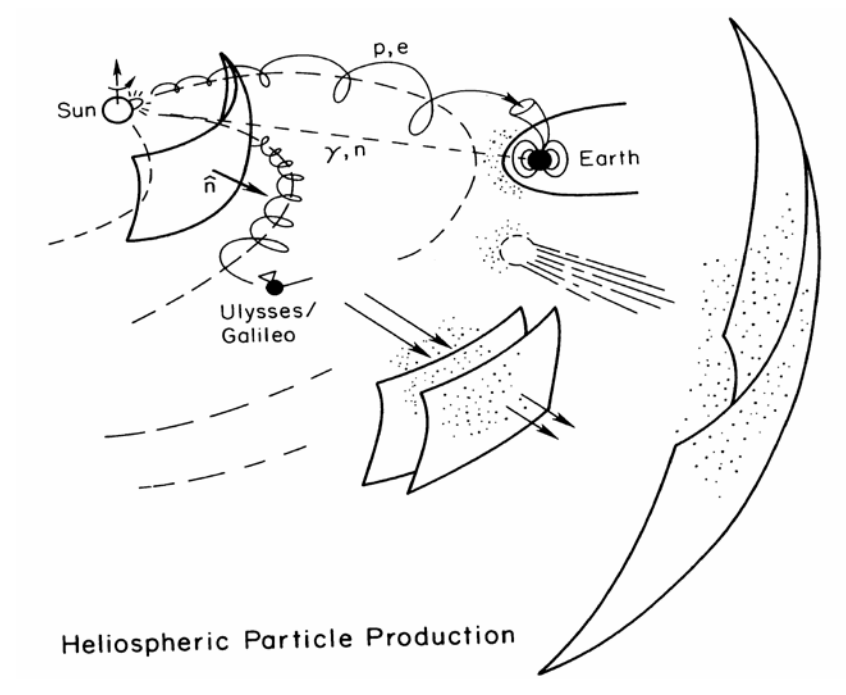
Intercambio de carga



Protons and electrons are affected by the electromagnetic fields in the Sun and the Earth-Sun region

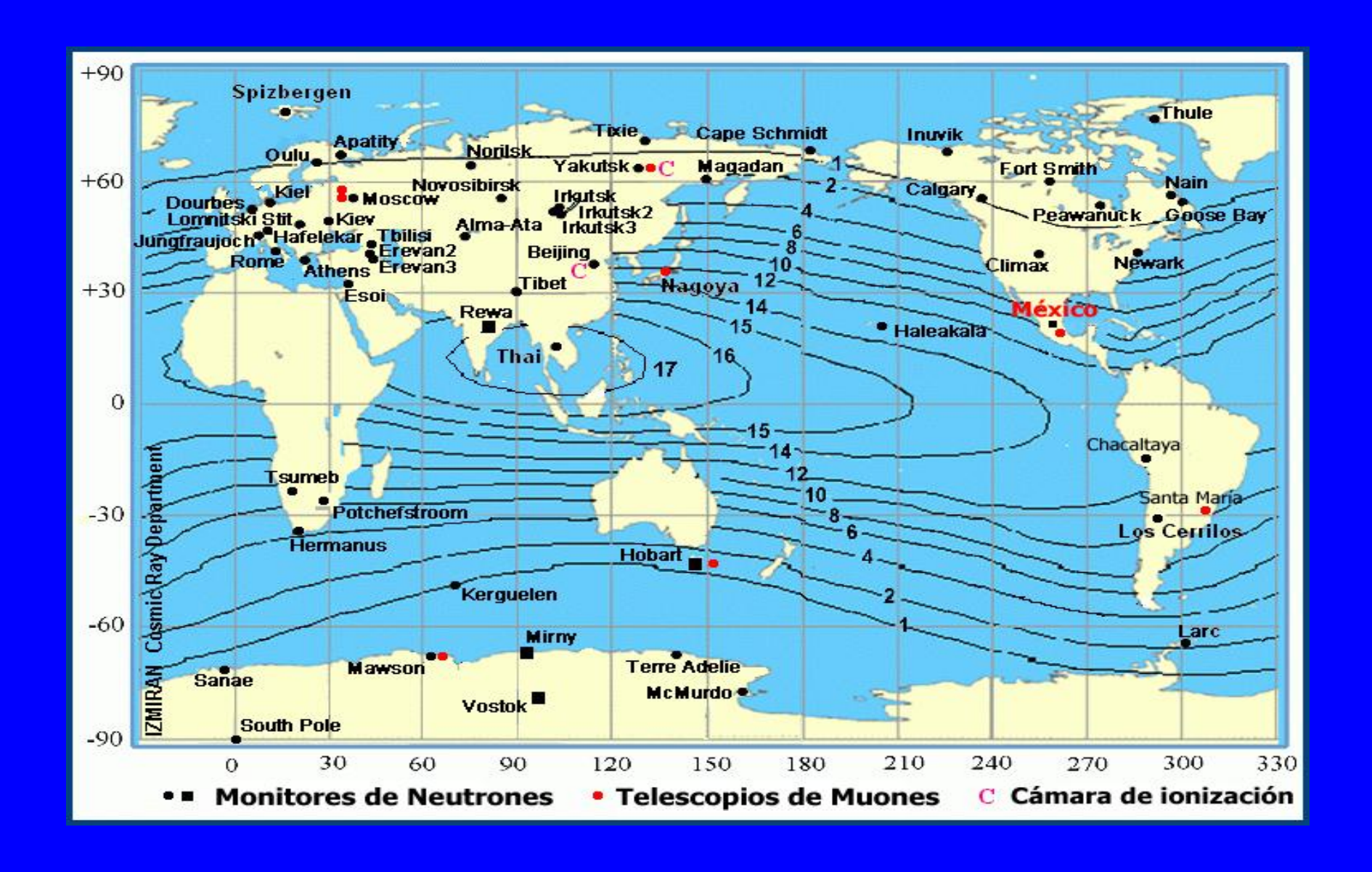
Neutrons are NOT

They preserve information of the acceleration site

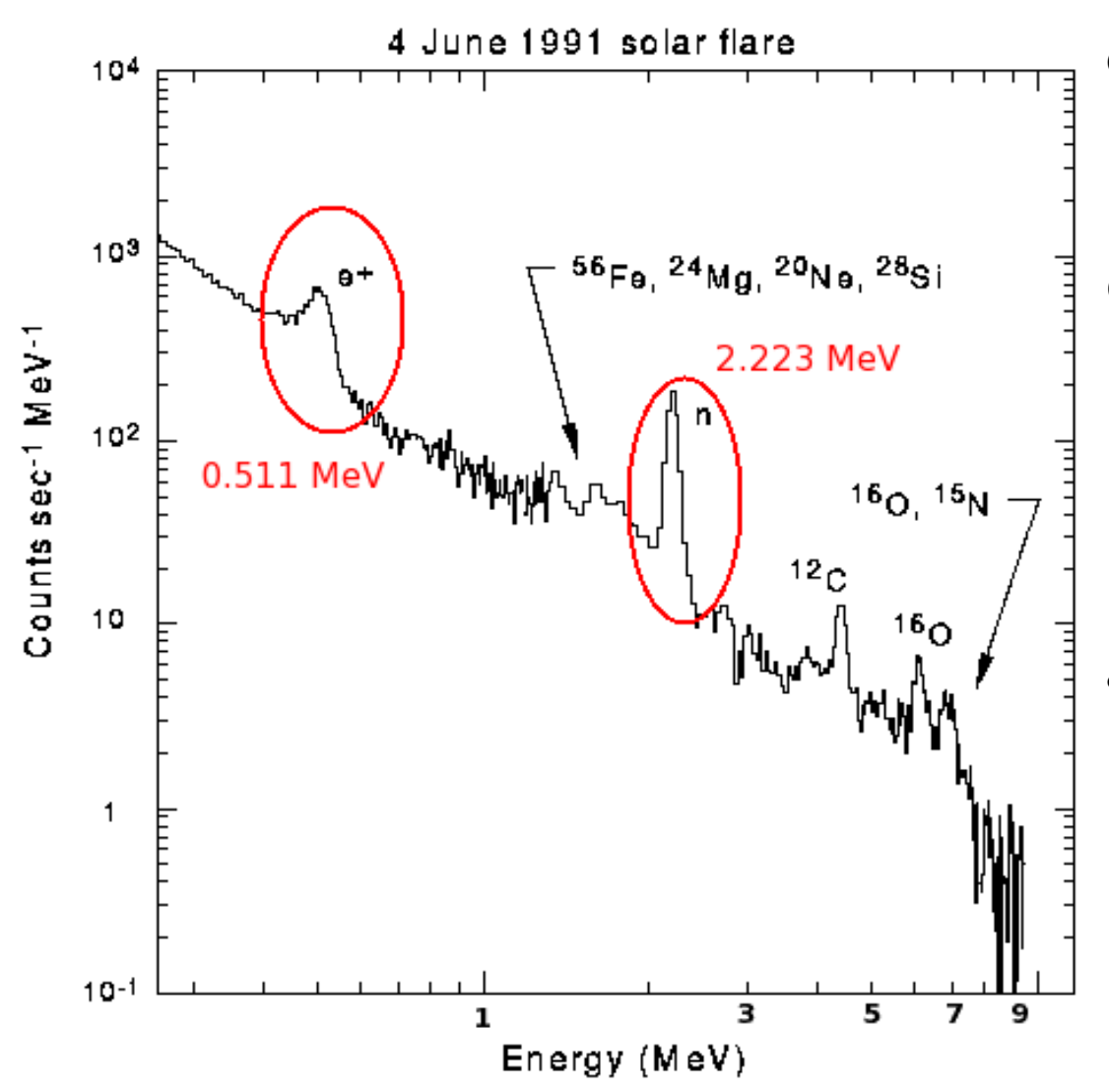


- The first measurement of solar neutrons was done by the *Solar Maximum Mission* from the solar flare of 1980 June 21, (Chupp, et. al., 1982).
- For the solar flare of 1982 June 3, high energy solar neutrons were for the first time detected at Earth by ground level neutron monitors, (Chupp, et. al., 1987).
- The event on 24 May 1990 was the first where neutrons and protons were detected separately at Earth by NMs (Debrunner, 1993, Dorman&Valdés-Galicia, 1999).
- On June 4, 1991 the Solar Neutron Telescope at Mt. Norikura was the first SNT to register solar neutrons, (Muraki et. al., 1992).
- On September 7, 2005 the SNT at Sierra Negra detected a very strong solar neutron emission, (Watanabe, et. al., 2008, Sako, et. al., 2008, González et al, 2010, 2015).

#### RIGIDEZ (ENERGIA) UMBRAL



### LA PRODUCCIÓN DE NEUTRONES ESTA (CASI)SIEMPRE ACOMPAÑADA DE LA EMISION DE RAYOS GAMMA



■ Los neutrones pueden ser emitidos hacia el interior solar donde producen líneas de Rayos gamma, i.e., 2.223 MeV línea de captura de neutrones

 Además pueden observarse líneas de desexcitación nuclear

Murphy, et. al. 1991

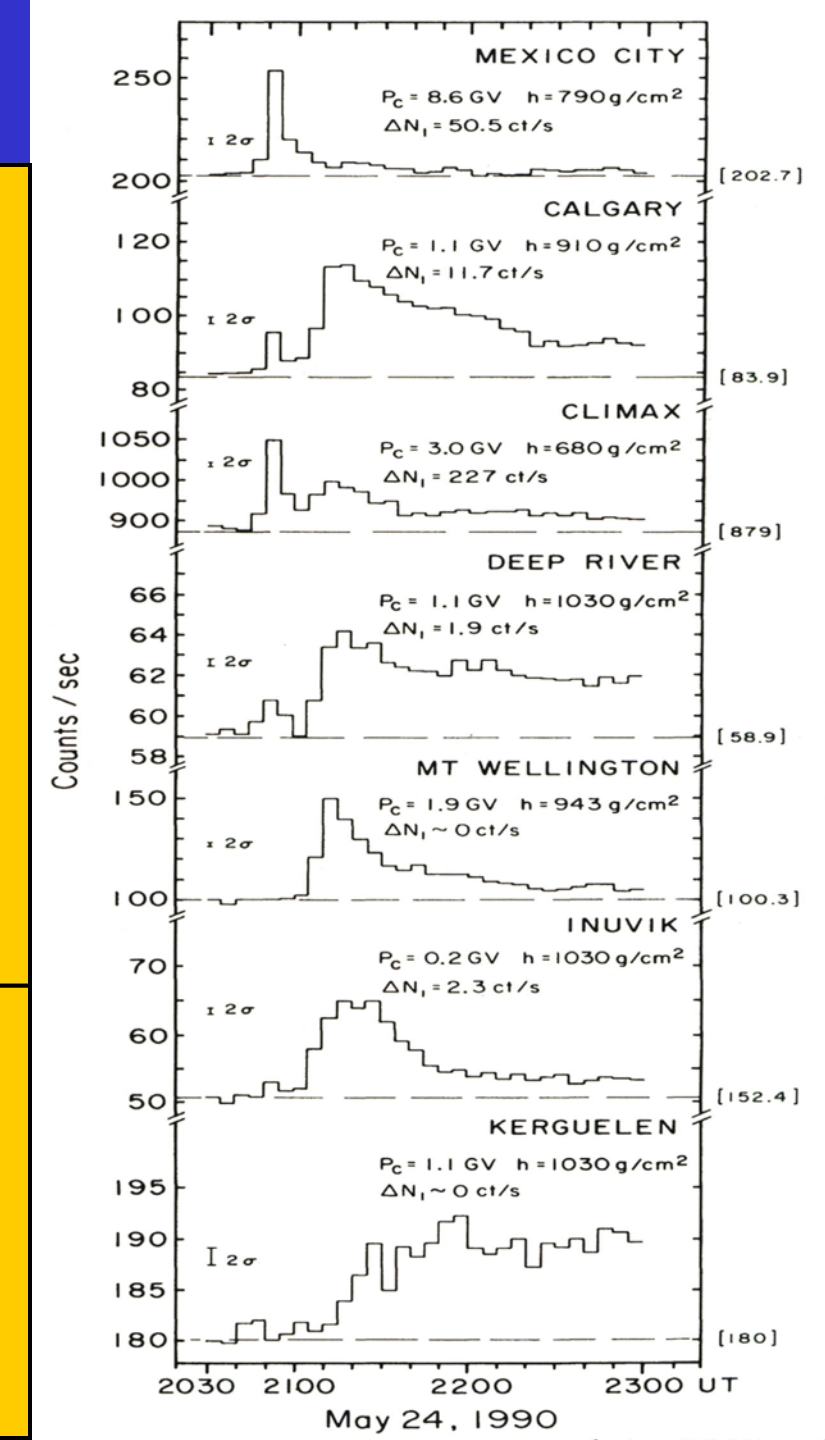
#### 24 mayo, 1990

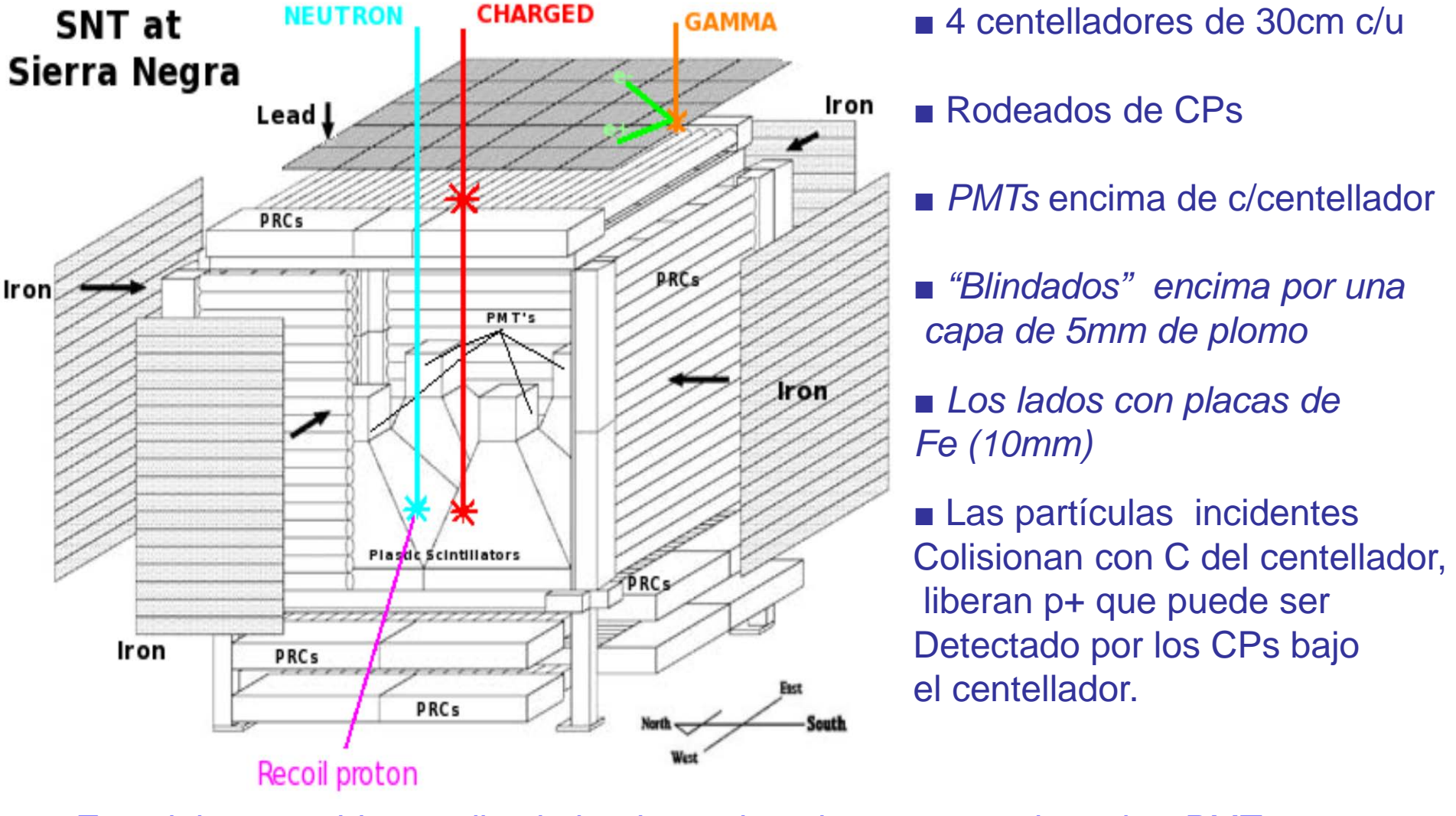
El incremento causado por los neutrones solares se observa solo en NMs del sector americano.

La intensidad del evento de neutrones es proporcional a la profundidad atmosférica NO a la rigidez umbral

- 1.Climax (680 g/cm<sup>2</sup>)
- 2. México (790 g/cm<sup>2</sup>)
- 3. Calgary (910 g/cm<sup>2</sup>)

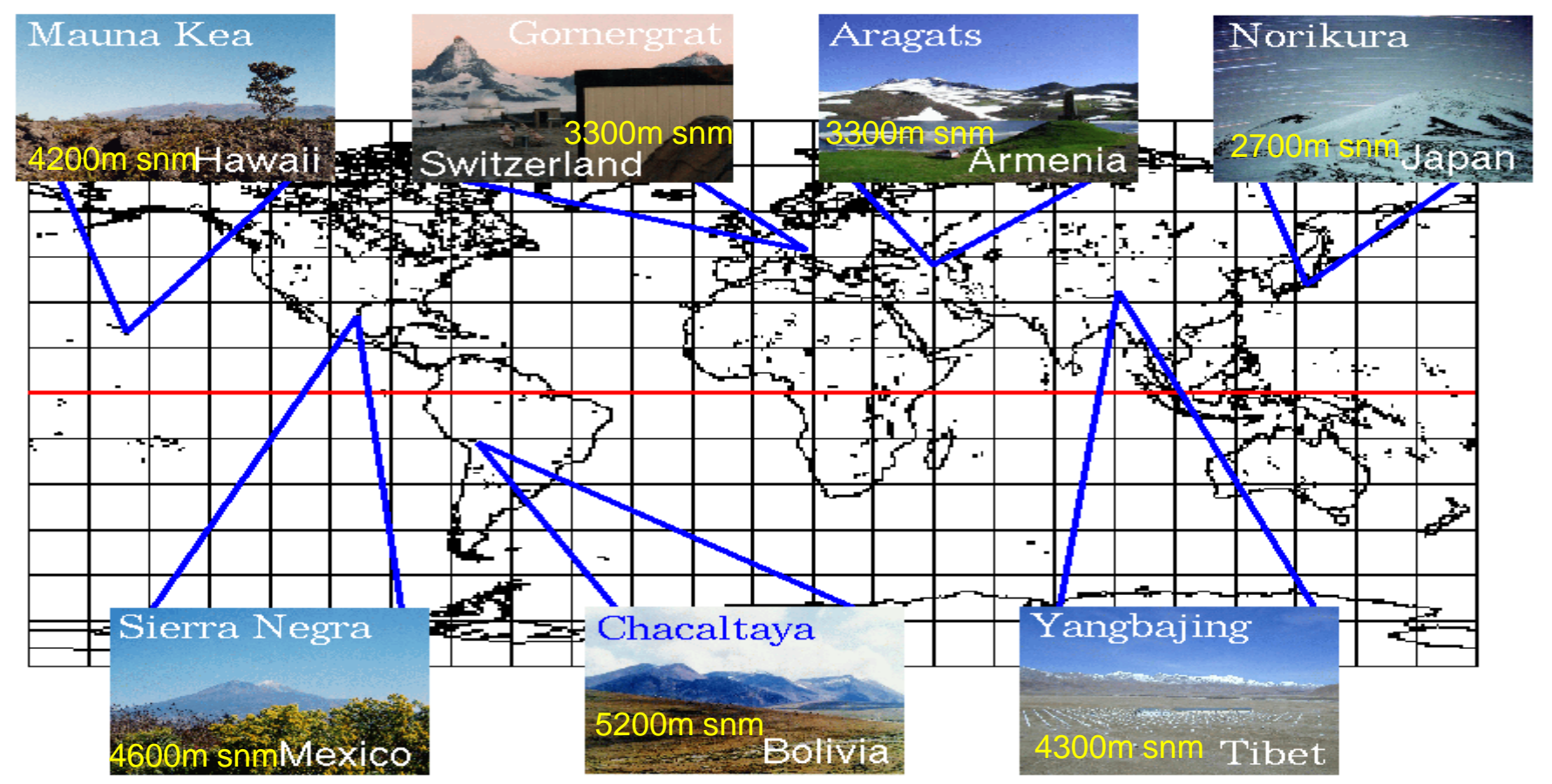
Los sitios en
Altitudes de montaña y
Bajas latitudes
son convenientes para
Neutrones Solares





- $E_{dep}$  del n se mide por discriminadores de pulsos conectados a los PMTs.
- La altura de pulsos es discriminada en 4 umbrales  $E_{dep}$  diferentes. Canales: E > 30 MeV, E > 60 MeV, E > 90 MeV, E > 120 MeV
- Las direcciones de arribo de las part. Incidentes se clasifican en 25 patrones de disparo diferentes.

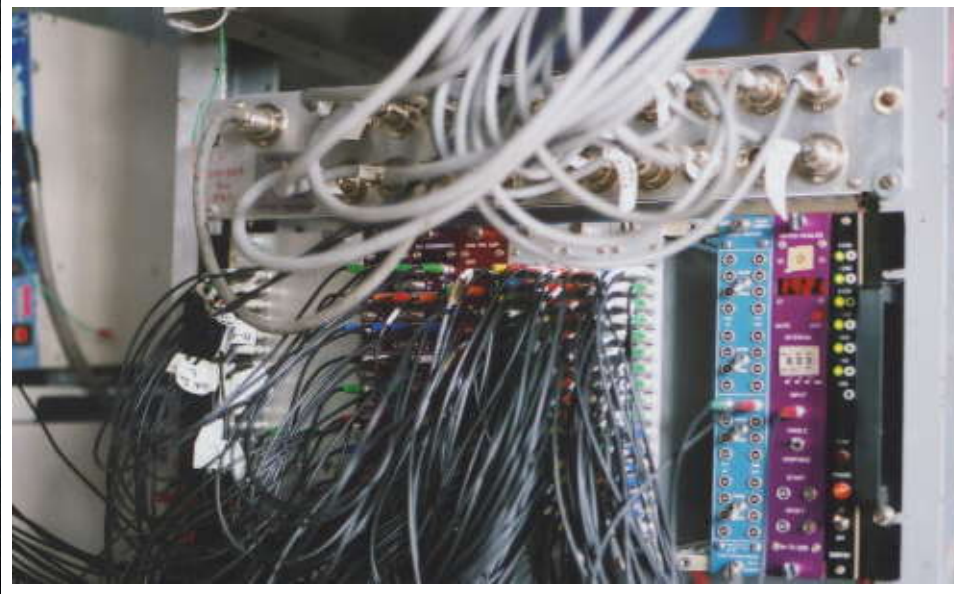
#### La Red Mundial de Telescopios de Neutrones



Map is from http://pubweb.parc.xerox.com/map/ (not available now) Armenian photo is from http://crdlx5.yerphi.am/ Tibet photo is from http://www.icrr.u-tokyo.ac.jp/em/

- Deben localizarse en altitudes de montaña para minimizar la atmósfera atravesada por los neutrones
- Cerca del ecuador para tener altas energías umbral y declinación solar alta









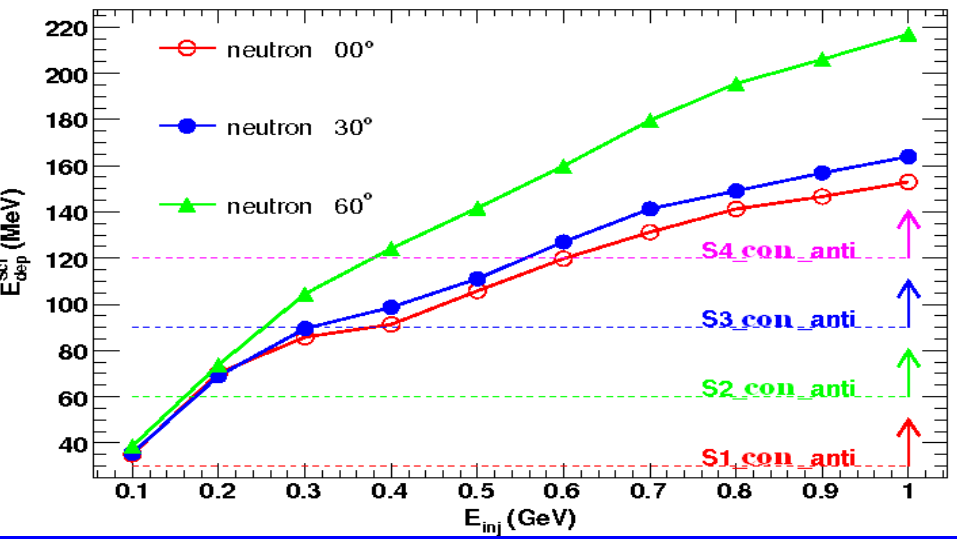
#### Simulaciones Numéricas de TNS

- Verificar contaminación por otro tipo de partículas que pudieran producir una señal tipo neutrón. Simulamos todos los componentes activos del detector incluyendo todos los procesos físicos involucrados; GEANT4 (Version 4.9.1).
- Se inyectaron 5x10<sup>4</sup>: neutrones, gammas, protones y electrones en la parte superiotr del detector, con energías entre 100 MeV y 1 GeV.
- Ángulos cenitales de arribo: 0°, 30° y 60°.
- Se considera como *n* solo aquellos eventos de anti-coincidencia que disparan los cuatro niveles de CPs bajo el centellador Reconstrucción angular del evento.
- La señal electrónica en los PMTs es proporcional a la E<sub>dep</sub> sci. De ésta manera podemos simular la respuesta de cada canal del TNS.

(González et al., 2010)

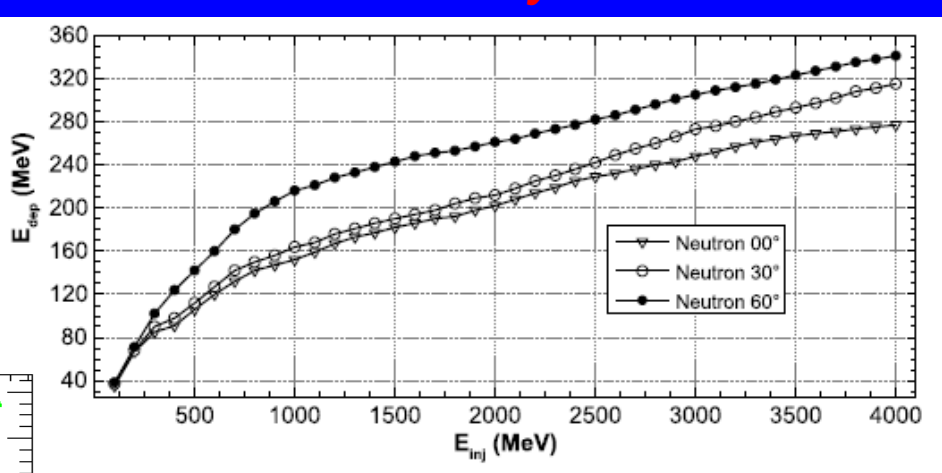
#### Simulaciones GEANT 4

#### Sierra Negra



- n's( todos los ángulos de incidencia) deben tener al menos 100 MeV  $(E_{inj})$  para ser detectados por el canal S1 ( $E_{dep} \ge 30$  MeV).
- $E_{inj}$  >600 MeV para ser detectados por el canal S4 ( $E_{dep}$  >120 MeV)

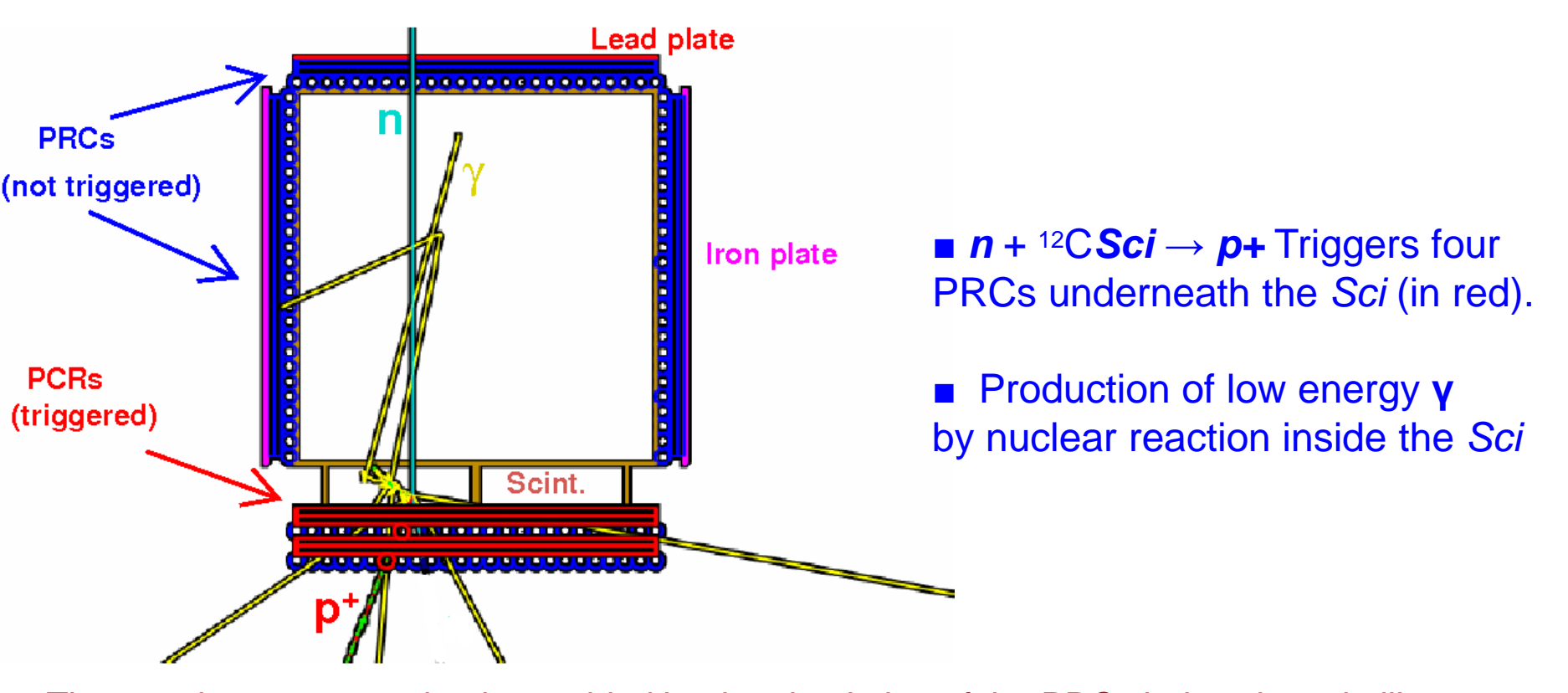
#### Chacaltaya



**n's** (todos los ángulos de incidencia) deben tener al menos 100 MeV ( $E_{inj}$ ) para ser detectados por el canal S1 ( $E_{dep} \ge 40$  MeV).

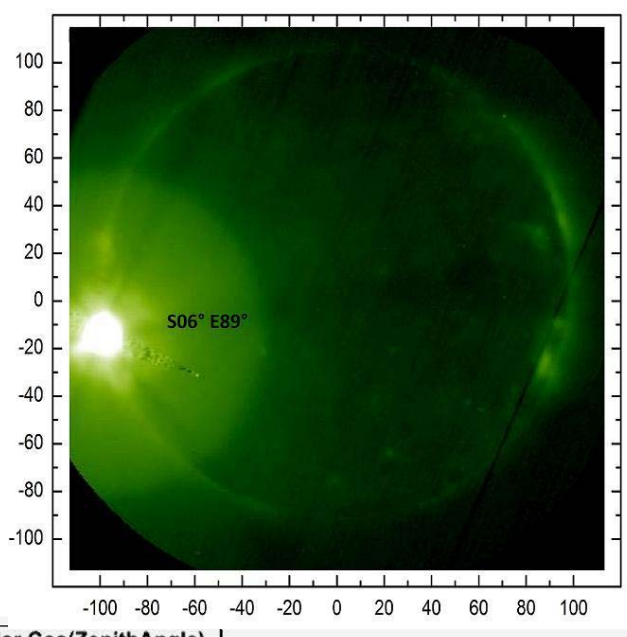
E<sub>inj</sub>>2500 MeV para ser detectados por el canal S4 (E<sub>dep</sub>>240 MeV).

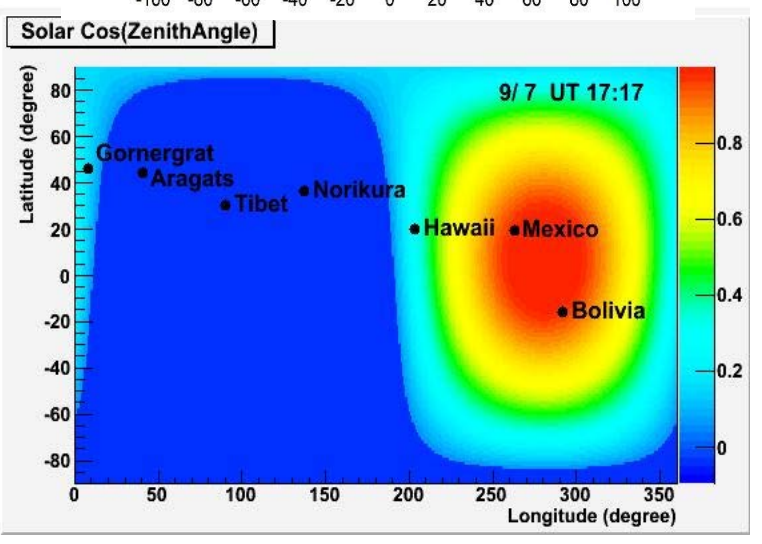
#### Graphical output of the simulation of a vertical impinging neutron of 500 MeV.



- The angular reconstruction is provided by the simulation of the PRCs below the scintillators.
- The four layers of PRCs allow classifying the direction of the recoil **p+** (correlated to the incoming **n** direction) in a 5x5 angular matrix of 15° resolution.
- The SNT carries out this process on line by means of specific logic circuits.
- The simulation code we produced estimates correlation of reconstructed angular directions with the true incoming direction.

#### **Evento 7 Septiembre 2005**





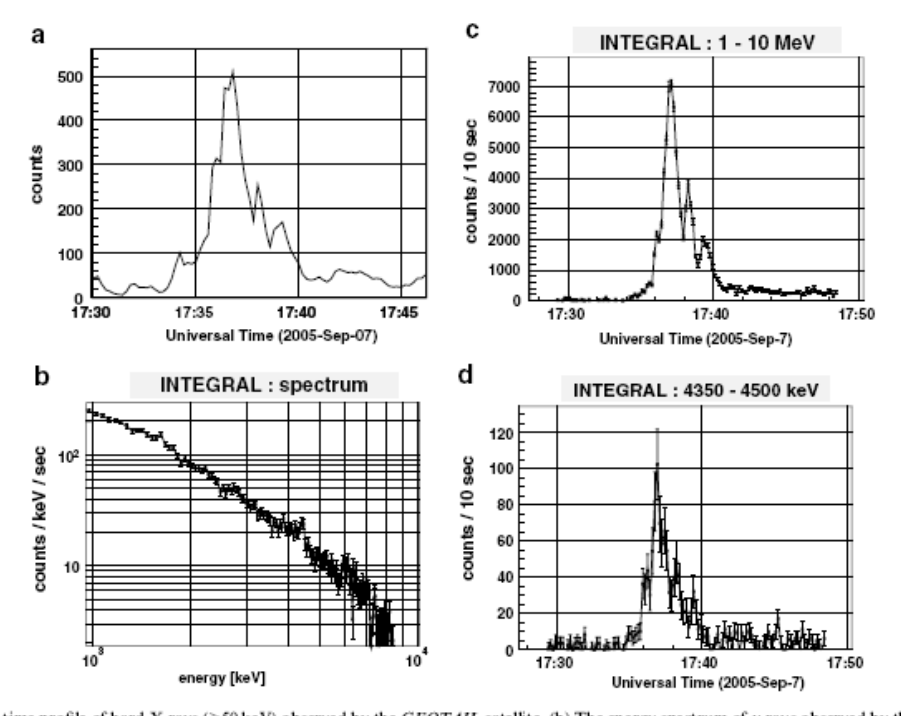
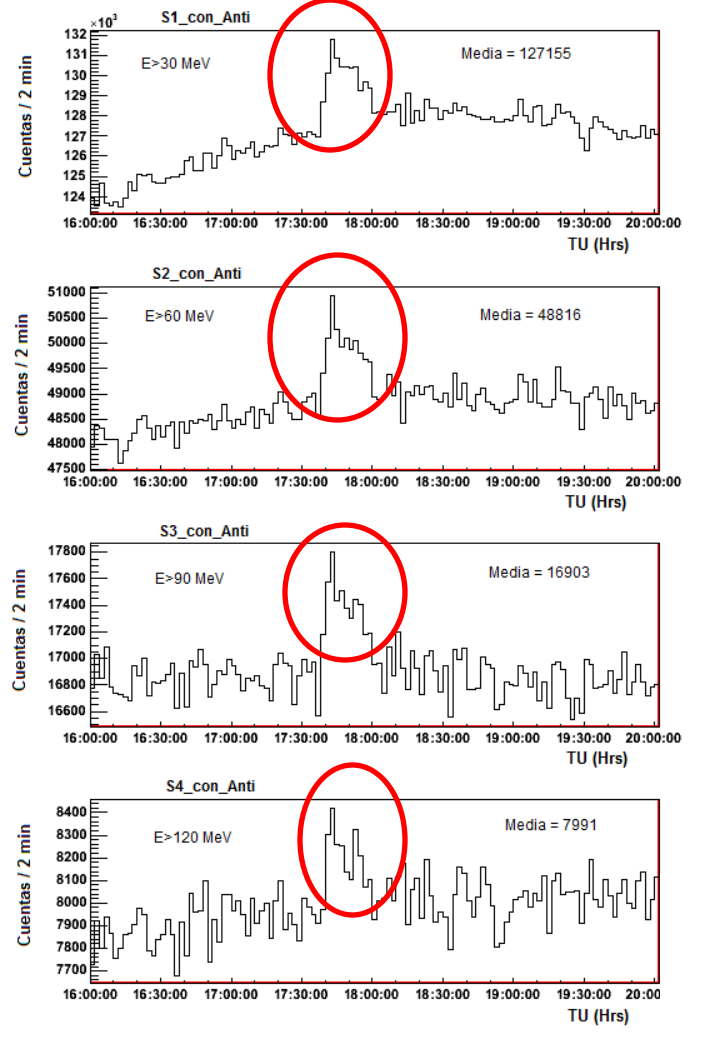


Fig. 1. (a) The time profile of hard X-rays (>50 keV) observed by the GEOTAIL satellite. (b) The energy spectrum of γ-rays observed by the INTEGRAL satellite. The γ-ray time profiles for the energy range between 1 and 10 MeV (c), and around 4.4 MeV (d) observed by the INTEGRAL satellite on 2005 September 7.

- Ráfaga solar Sept 7 2005
   ( X17.0, E= 17x10<sup>-1</sup> erg cm² seg<sup>-1</sup>).
- Maximo a 17:40 UT (*GOES*), 17:36:40 (*Integral*).
- Sierra Negra & Chacaltaya, estaban bien Localizados para observar los neutrones. Solares (angulo cenital ~15°).



- Clear excesses were recorded by solar neutron channels, after the hard X-ray peak time.
- The statistical significance of the excesses:

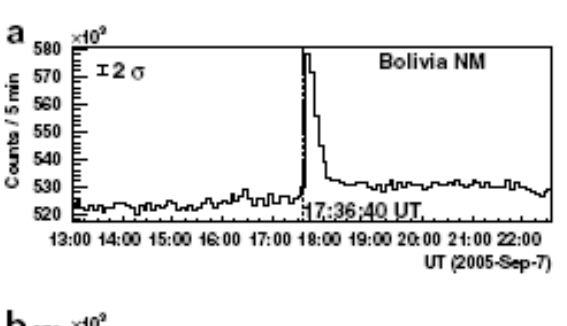
S1\_with\_anti  $16\sigma$ ,

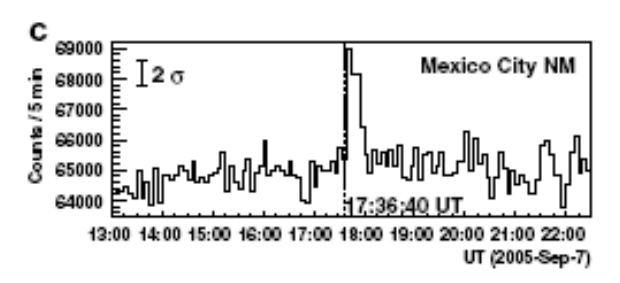
S2\_with\_anti 12σ,

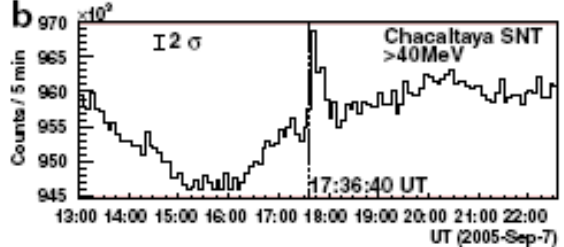
S3\_with\_anti  $9.9\sigma$ ,

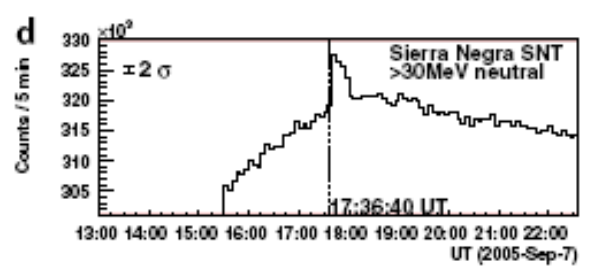
S4\_with\_anti 6.2σ.

Mexico City & Chacaltaya NM see the event









- **a)** Flujo de neutrones solares simulado, llegando a 10° del zenith (flujo cercano al medio dia).
- **b)** Proporción real de cuentas en el TNS durante el evento de Sept 7, 2005 a 17:36:40 TU (11:36:40 TL ~15° ángulo cenital).

(González et al., NIM, 2010, Ap. J. ,2015)

3.2%

7.2%

11.3%

7.3%

3.4%

့်

East-West

2.6%

5.4%

7.9%

5.6%

2.7%

ZΕ

1.6%

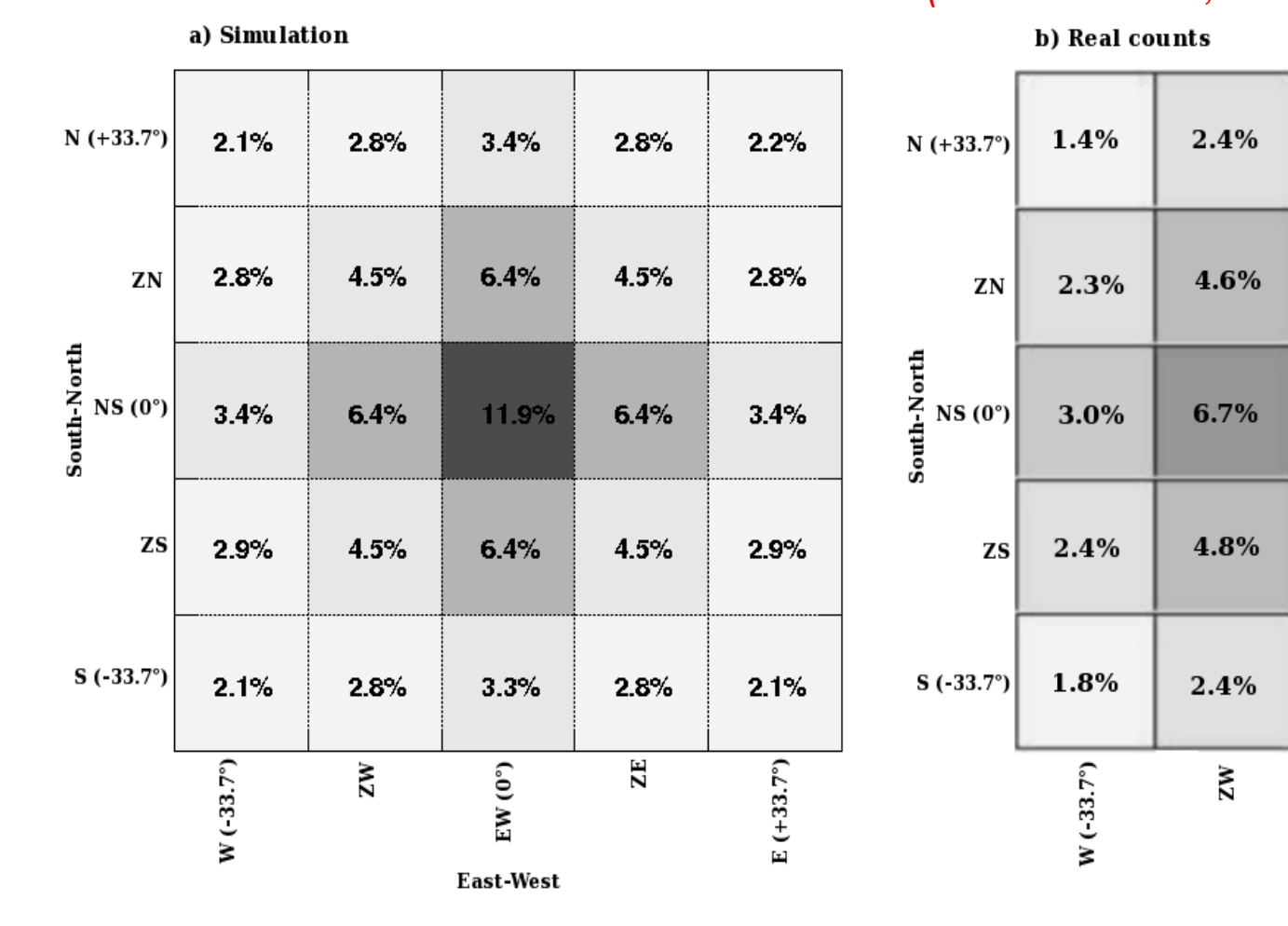
2.7%

3.4%

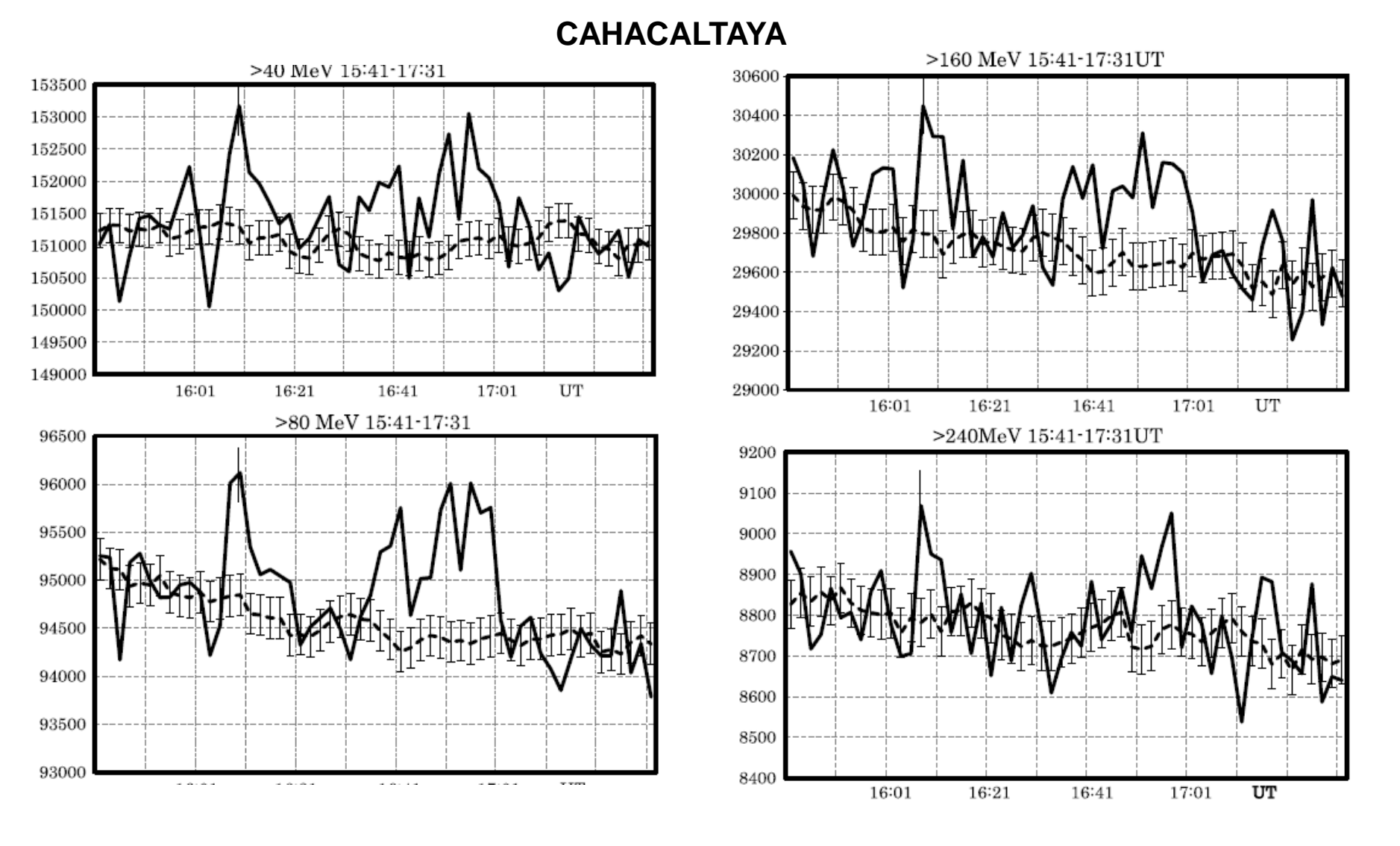
2.9%

1.6%

E (+33.7°)



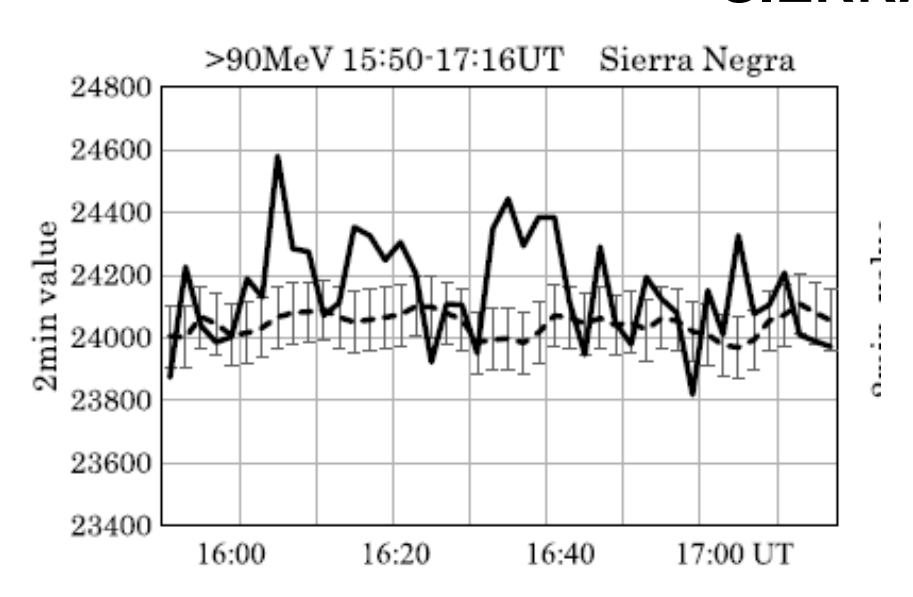
#### Evento 8 julio 2014

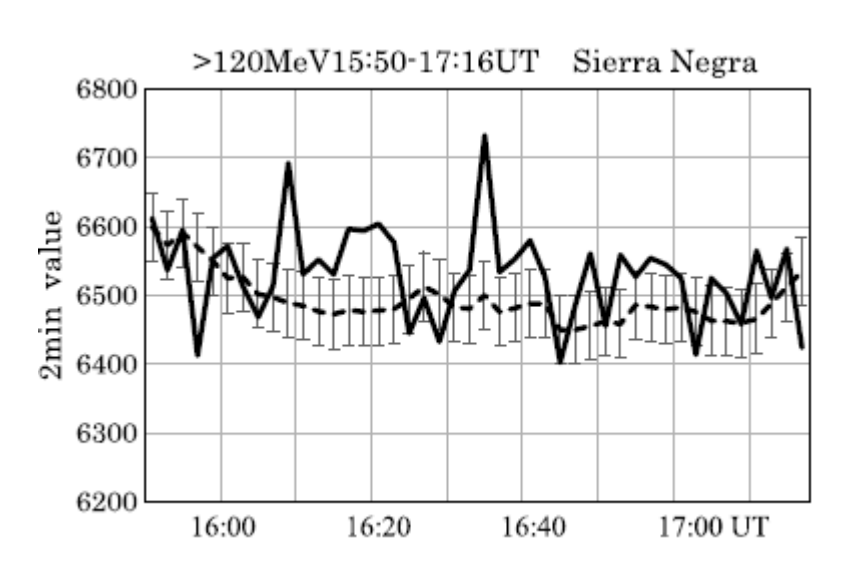


RAFAGA M6.5 N12 E56; 16:06 -16:20 (Peak)UT

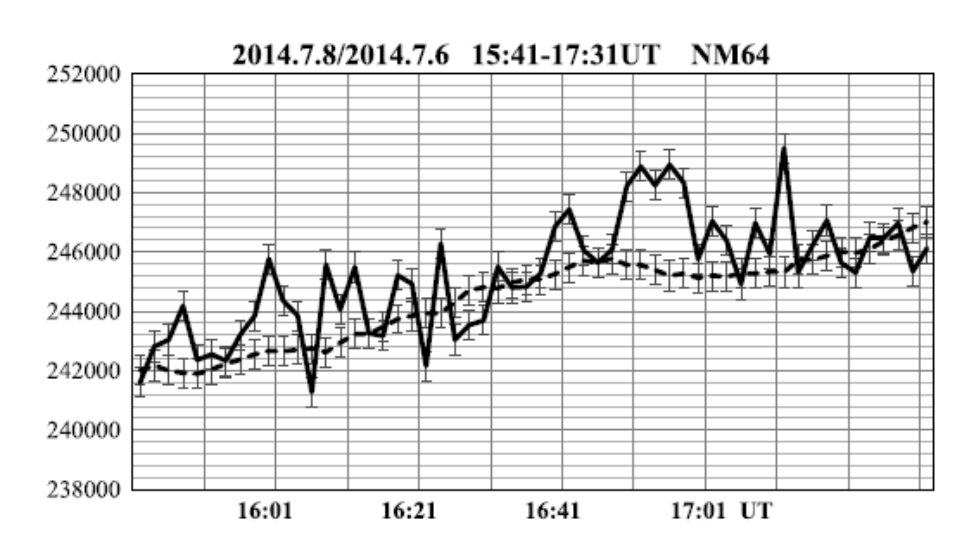
#### Evento 8 julio 2014

#### **SIERRA NEGRA**





#### **CHACALTAYA 12NM64**



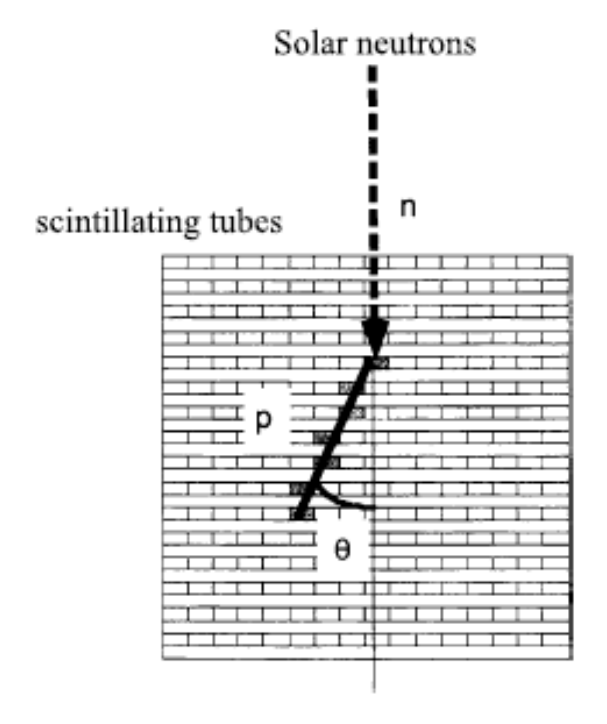
Duración	>40 MeV	>80 MeV VALORES	>160 MeV en σ	>240 MeV
2014.7.8 (UT)				
16:07-16:13	6.2	7.2	6.0	4.9
16:37-16:43	2.4	4.9	3.8	1.6
16:45-16:57	4.9	8.1	5.8	5.5
2005.9.7 (UT)				
17:34-17-48	12	8.8	5.5	3.2

#### **CHACALTAYA**

#### SIERRA NEGRA

DURACION	>90 MeV VALORES	>120 MeV en σ
2014.7.8 (UT)		
16:05-16:08	5.3	0
16:09-16:11	2.0	4.1
16:12-16:22	3.2	2.8
16:32-16:34	4.5	4.7
16:32-16:40	4.6	2.8

#### Detector SEDA-NEM A bordo de EEI



Barras de plástico centellador (x-y) 6mm x 3mm x 96mm

c/plano tiene 16 barras

Tamaño del detector 96 x 96 x 96 mm

Dos MAPMT de 256 canales c/u

#### Dos formas de estimar la energía:

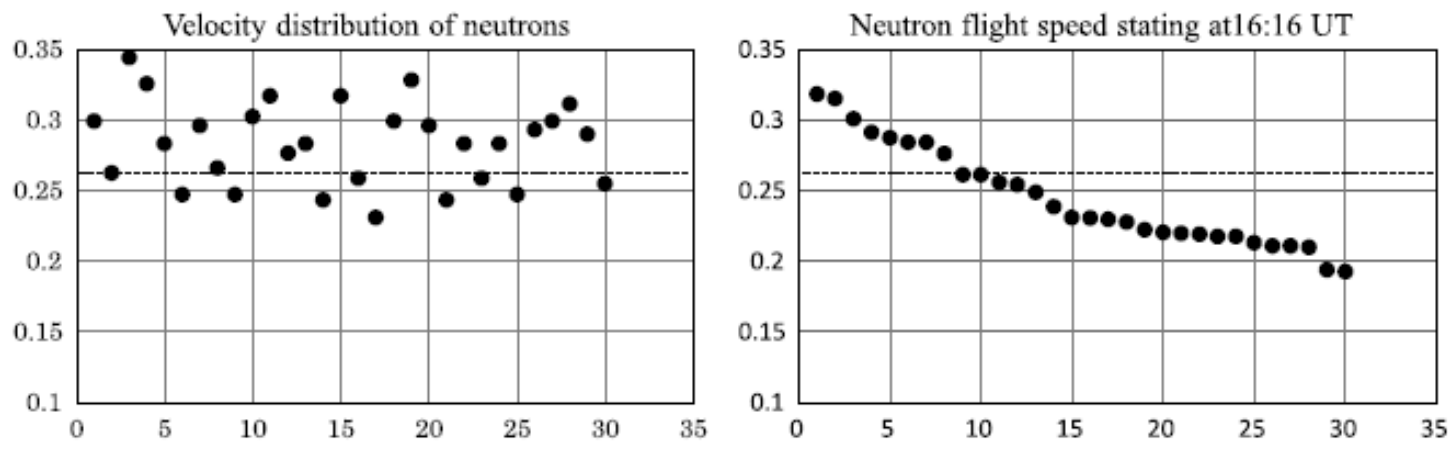
- En = Ep/cos²θ, donde Ep se mide por el RANGO de los protones
   θ ángulo c.r. A dirección del Sol
- Altura de las señales en los DINODOS del MAPMT

#### Entre 16:06-16:20 TU la EEI estaba del lado noche de la Tierra

Se perdió la oportunidad de observar Neutrones Solares de **Alta Energía** emitidos ~16:07TU; detectados en SN y Chacaltaya

n's con energía < 70MeV llegan a la tierra 14min después de la luz

Por tanto SEDA-NEM pudo observar n's 35MeV>En>70MeV Se encontraron 30 eventos entre 16:34- 16:51 TU

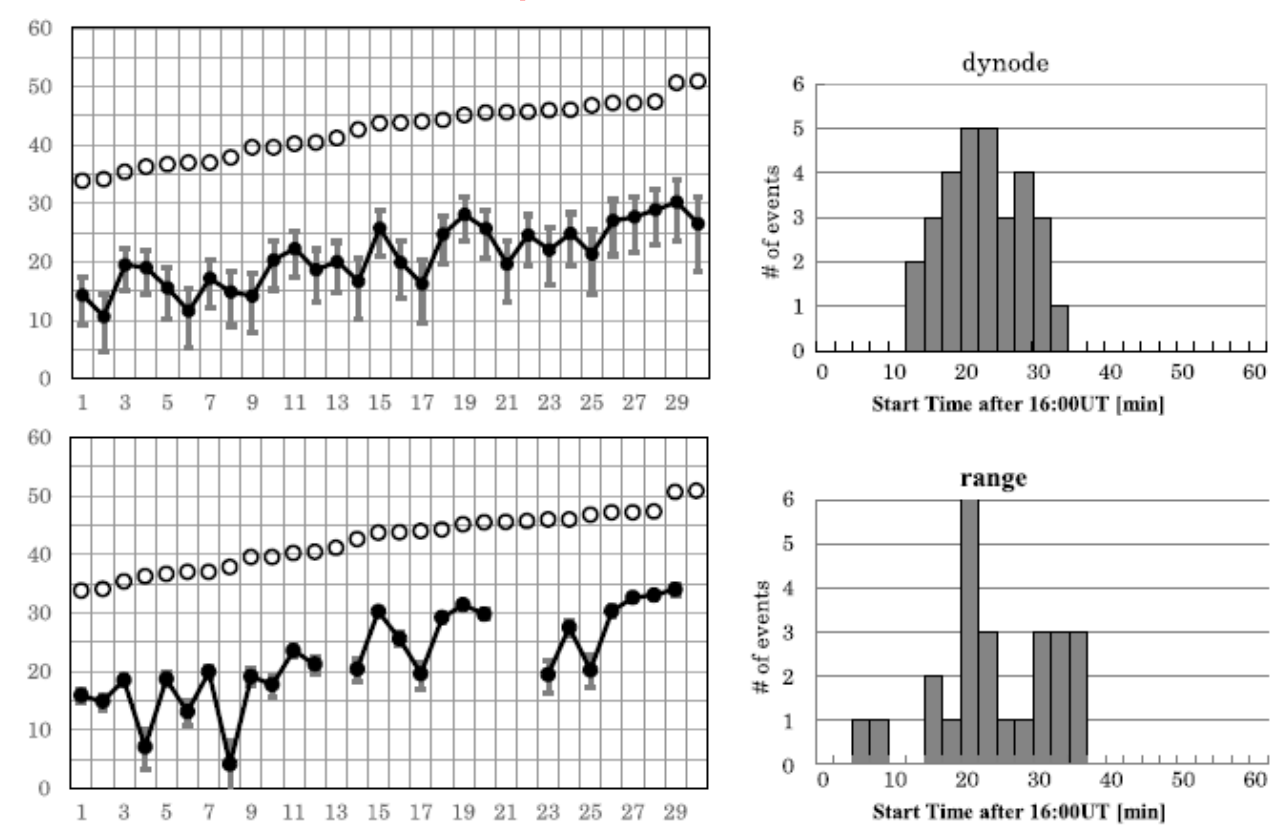


Eje vertical: v/c; horizontal: No. Evento

Línea punteada v/c=0.266 (35MeV, energía mínima de detección)

Panel derecho supone **n** 's salieron del Sol a las 16:16 TU !!!

#### Distribución temporal de arribo de los n's

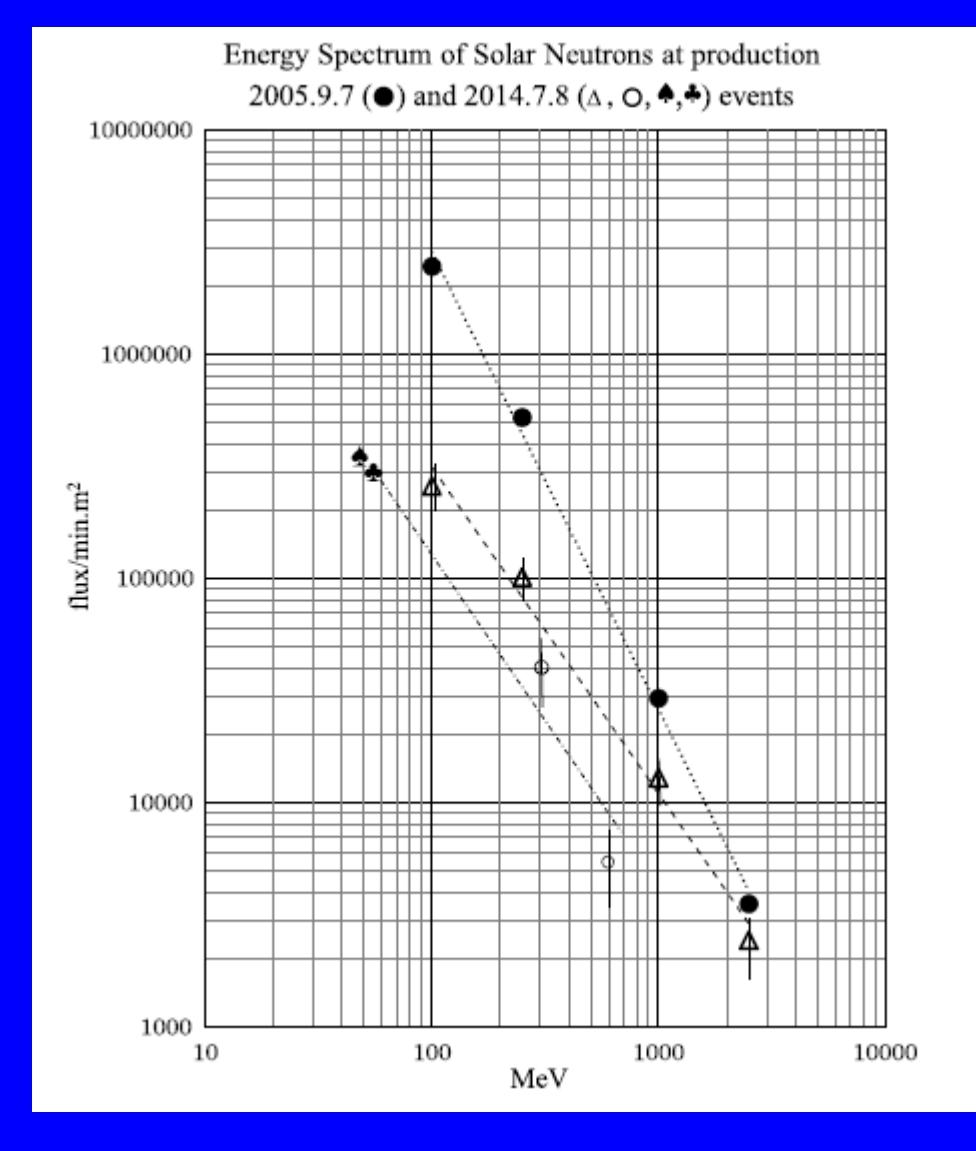


Panel izq: Circulos abiertos= tiempo de observación Circulos rellenos= tiempo corregido con En

Panel der: Distribución de velocidades

La distribución temporal derivada del método RANGO implica dos tiempos de emisión de partículas en el Sol (~ 16:16 TU y ~16:30 TU)

#### ESPECTRO DE LOS NEUTRONES EN EL SOL



Para calcular el espectro:

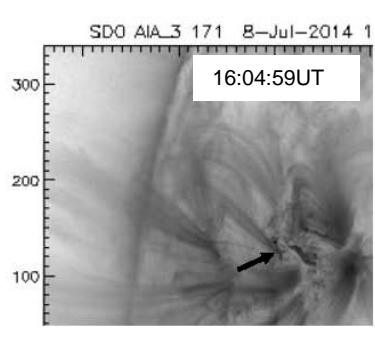
- Se determina la atenuación Atmosférica mediante MC (González et al, 2015)
- Se toma en cuenta el decaimiento de n´s.
- Se toma en cuenta el "tiempo de vuelo" de acuerdo con la energía .
- Se calcula la energía de los n´s de acuerdo con la energía "mas probable" para cada canal (González et al, 2010)

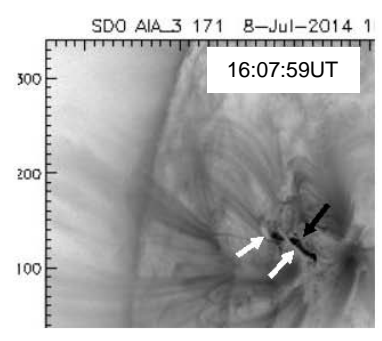
El indice espectral a las 16:07 TU resulta ser  $\gamma=-(1.5\pm0.2)$ 

Comparado con el evento 7/sep/2005  $\gamma$ =-(2.1±0.2)

#### SOLAR DYNAMICAL OBSERVATORY 17.1 nm (EUV)

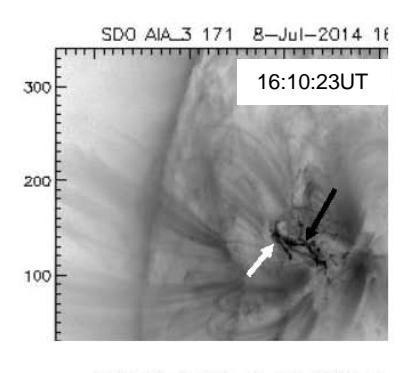
Dos pequeños Arcos magnéticos "colisionan"

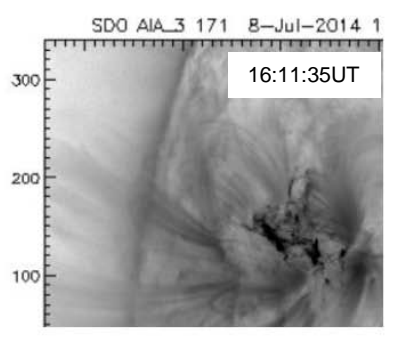




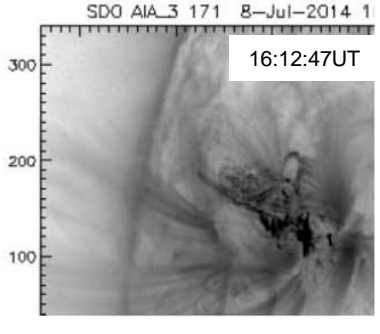
Dos filamentos eruptivos

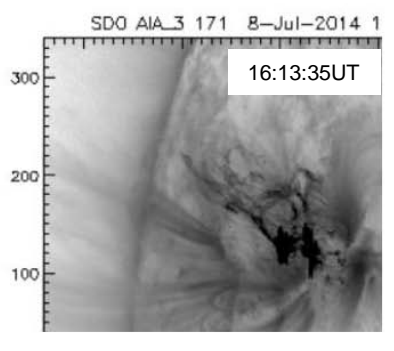
Reconexión magnética (Campo E p's ~10 GeV)

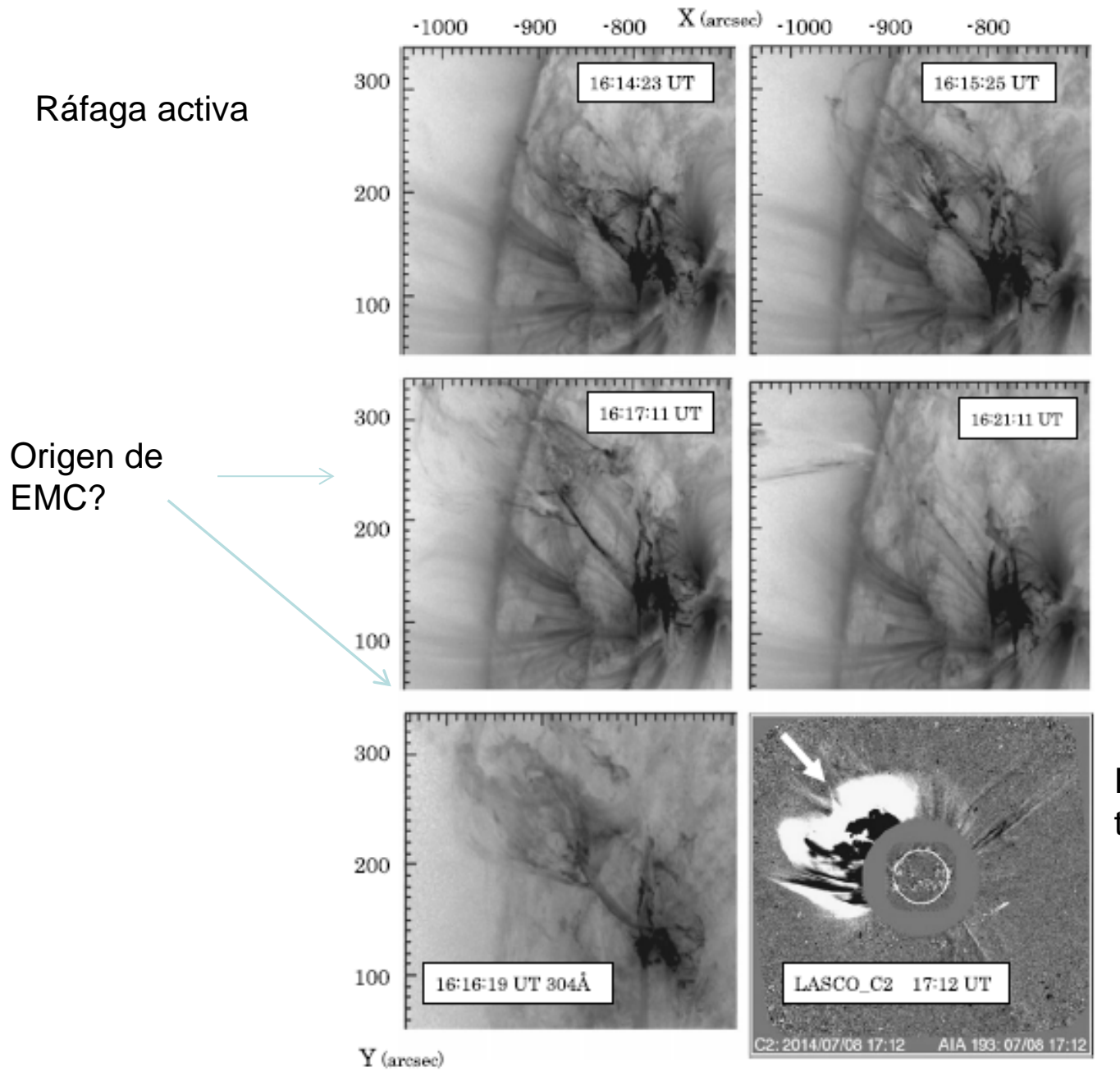




Algunos arcos magnéticos adicionales se "disparan"







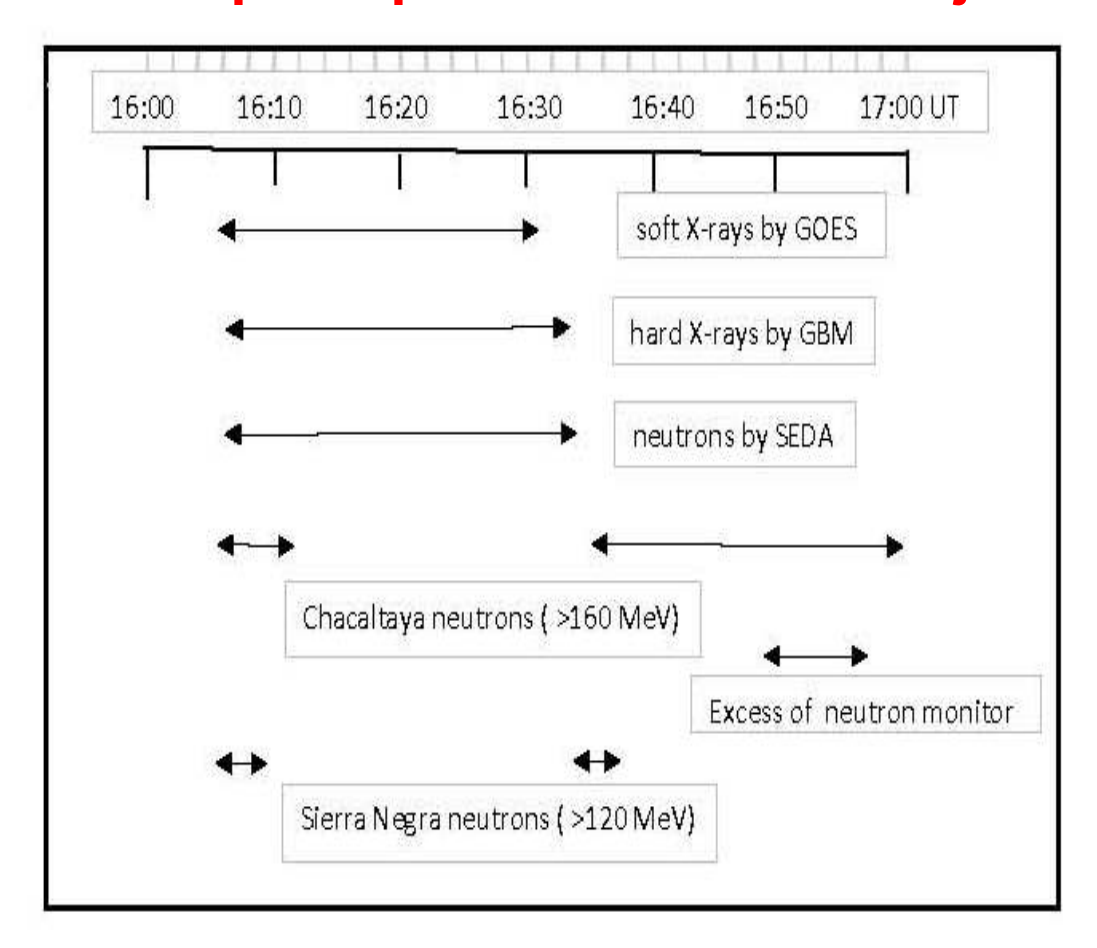
Perp. p's Shock acc to 10 GeV?



n's to 1GeV

Mandzhavidze, 1992; Cheng et al., 2013

#### Esquema temporal para el evento del 8 julio 2014

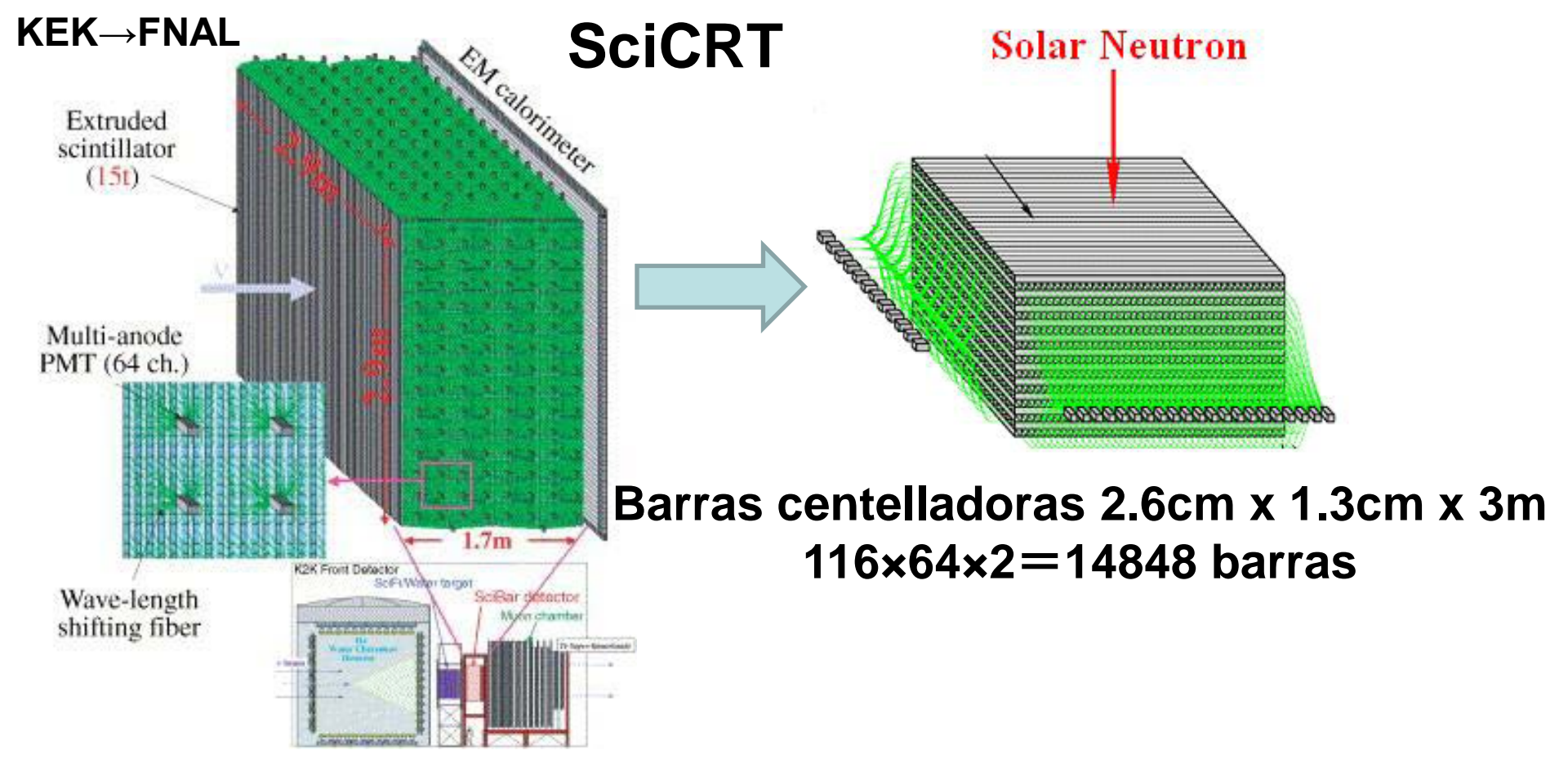


Muraki et al, Sol Phys,.(2016) 291: 1241-1265

#### **Conclusiones**

- Los TNS de Sierra Negra y Chacaltaya pueden detectar neutrones solares con energías de cientos de MeV hasta GeV, con eficiencias mayores al10%.
- La resolución angular de la simulación concuerda con los datos reales para
   7 Septiembre, 2005 validación de simulación.
- El evento del 8 julio, 2014; observado en Chacaltaya, Sierra Negra y la Estación Espacial Internacional (SEDA-NEM) es debido a neutrones solares.
- Combinando datos con resultados simulación n's de ~1 GeV;
   con lo cual p's de ~ 10GeV pueden haber sido producidos.
- p's no observados en la Tierra puesto que las ráfagas fueron en el extremo este del Sol, donde las líneas del CMI llevan los p's lejos de la Tierra.
- Existen evidencias tomadas de imágenes UV (AIA-SDO) y coronógrafos (LASCO-C2) del Sol de dos diferentes mecanismos de aceleración para el evento del 8 julio, 2014; los cuales están claramente asociados a dos etapas distintas de aceleración (~16:06TU, ~16:16TU).

Hasta donde tenemos conocimiento, esta es la PRIMERA VEZ que se presenta éste tipo de evidencia de aceleración de partículas en el Sol.

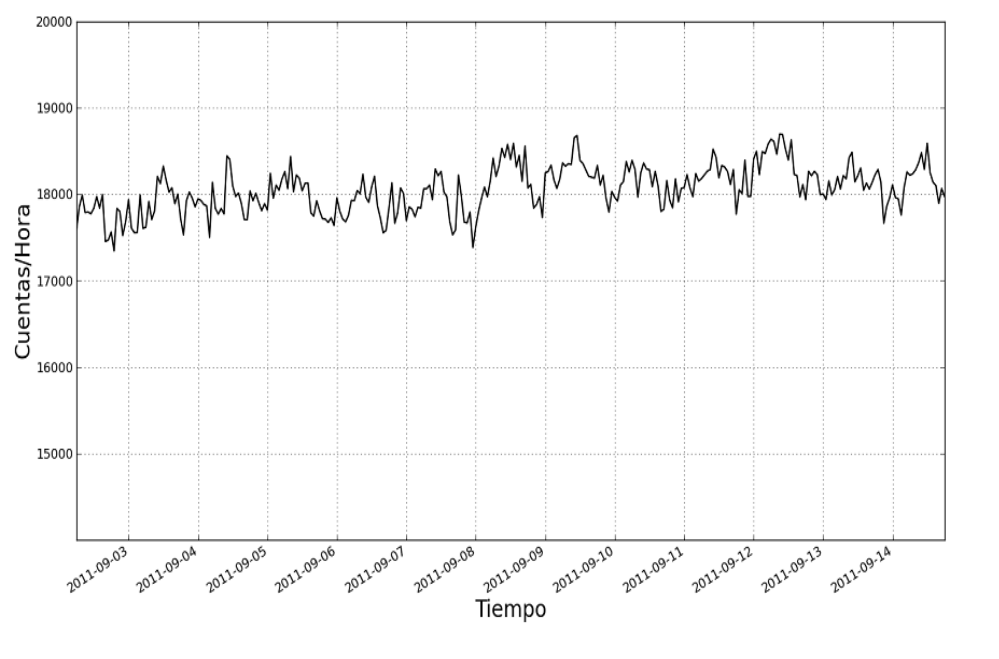


El SciBar fue usado en experimentos de neutrinos en el acelerador. El SciBar (3m x 3m x 1.7m) puede ser usado como detector de rayos cósmicos en el volcán Sierra Negra, Mexico (4600m s.n.m.)

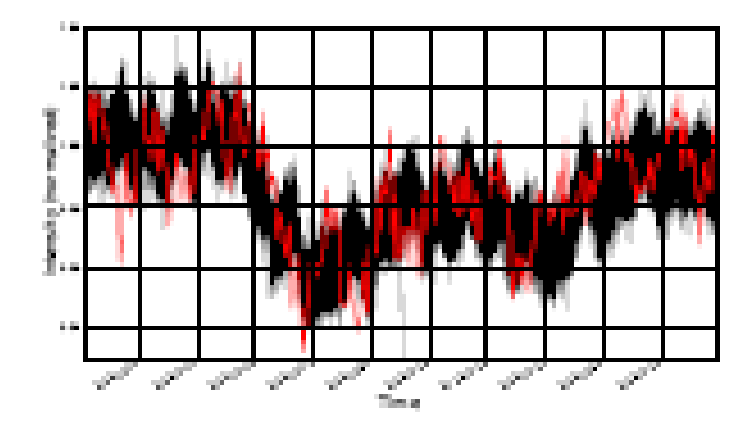
El SciBar tiene una mucho mejor sensitividad y razones de conteo que el TNS.

Podemos identificar mejor a las partículas, su dirección y su energía.



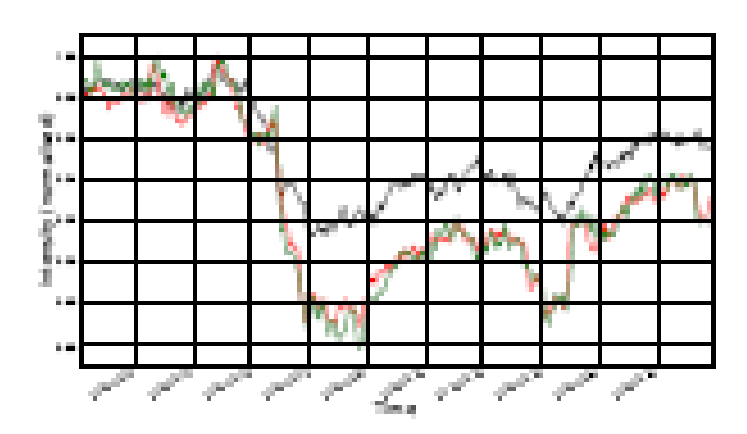


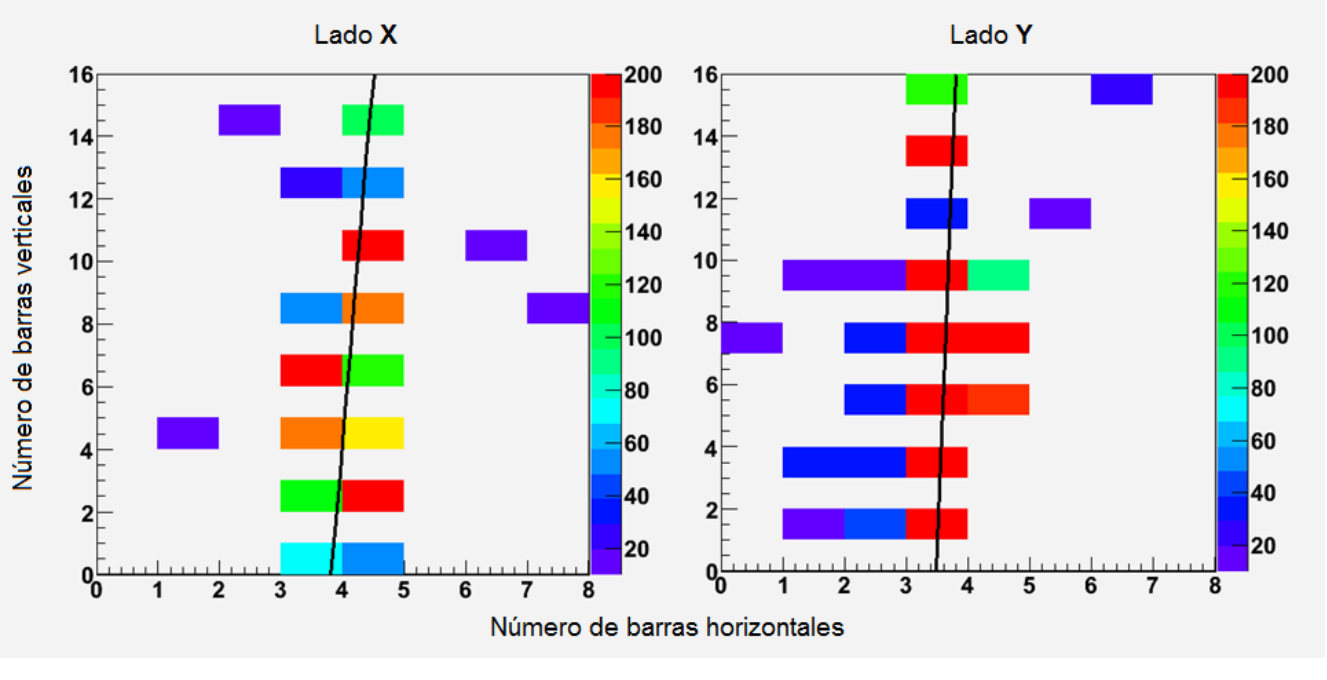
#### Variación Diurna



Decrecimiento Forbush 8/03/12

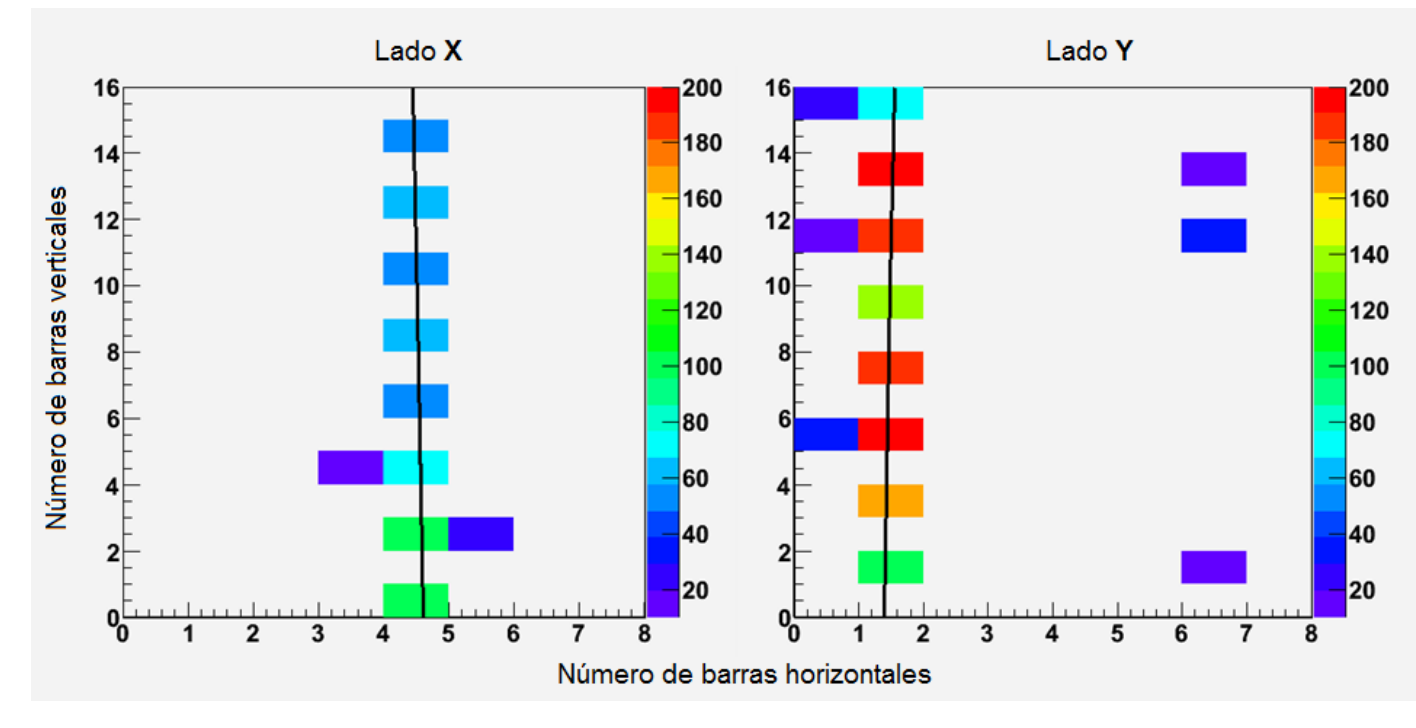
Figure 2: Forbush decrease recorded by mini-SciCR (red line) and Solar Neutron Telescope (black line) in Sierra Negra voicano on March 8, 2012.

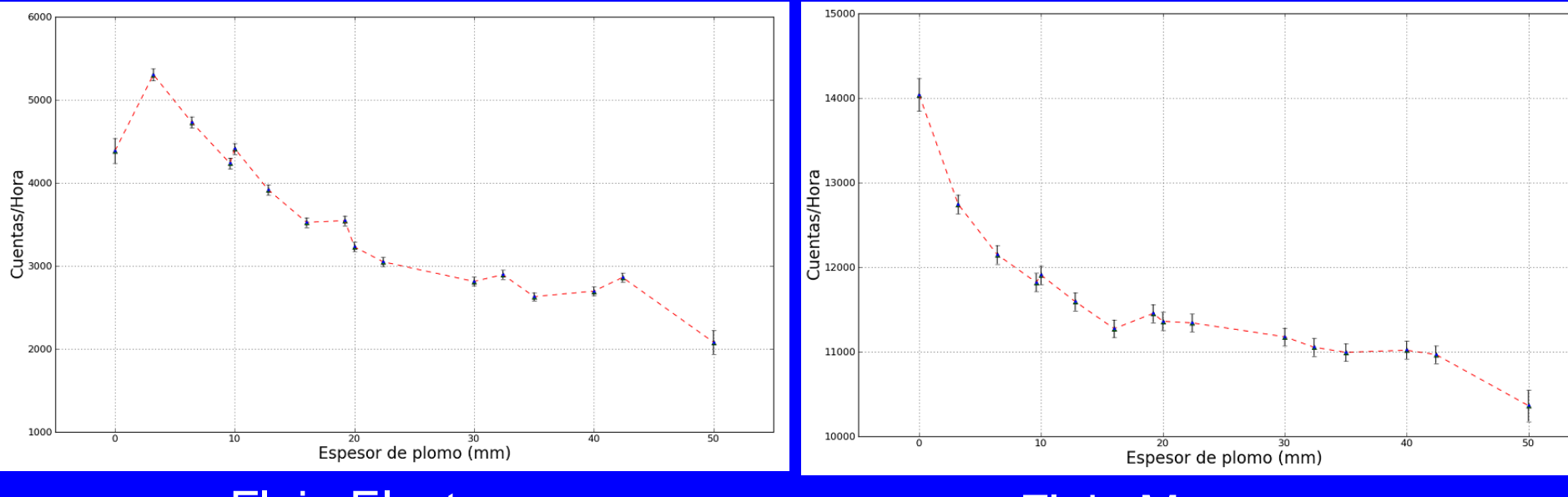




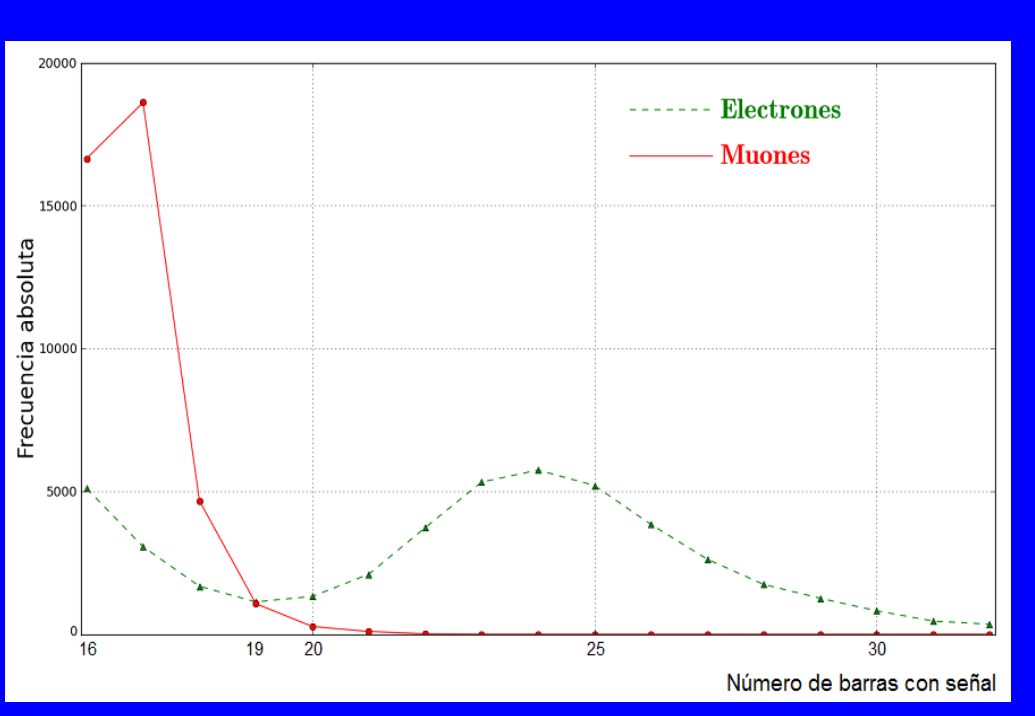
Traza Electronica





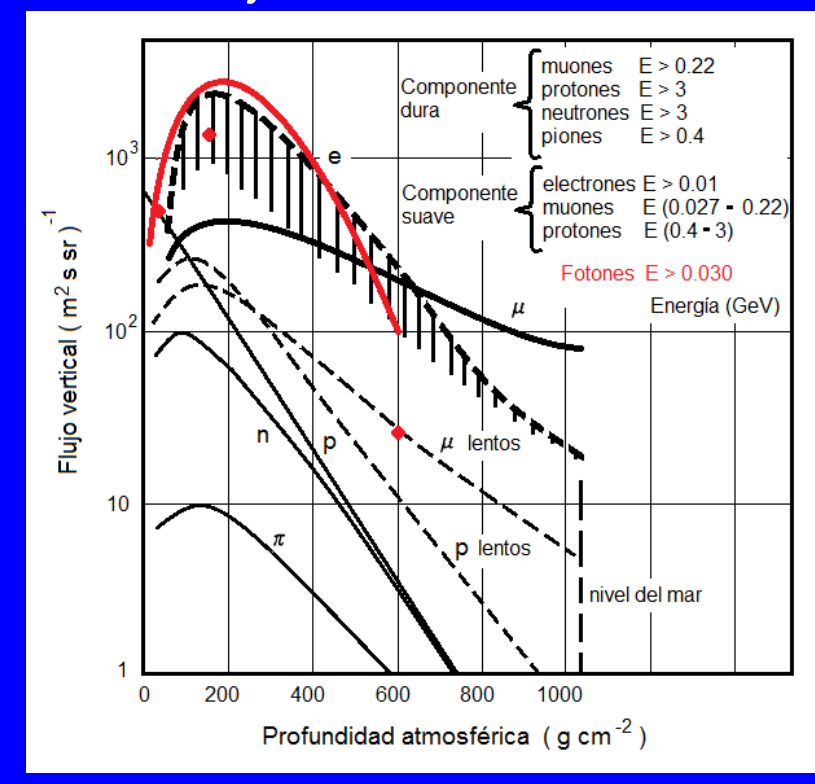


#### Flujo Electrones

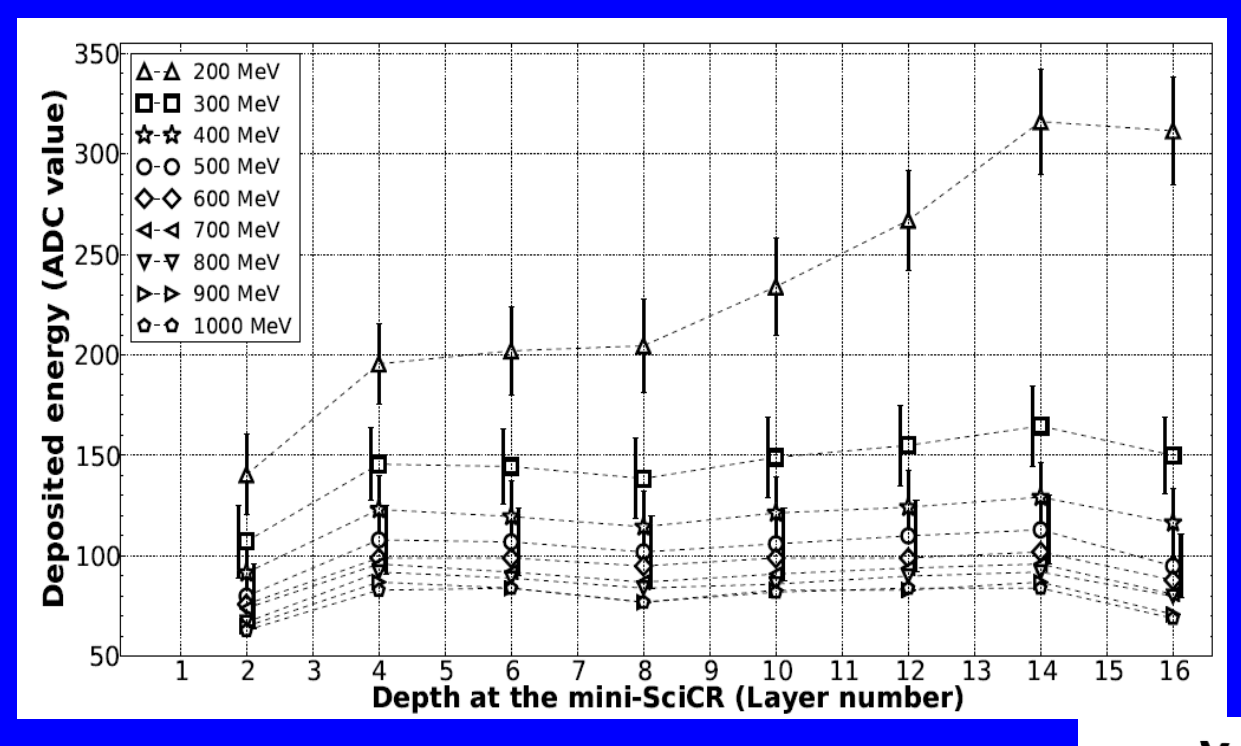


#### (Ortiz et al, RMF, 2015)

#### Flujo Muones

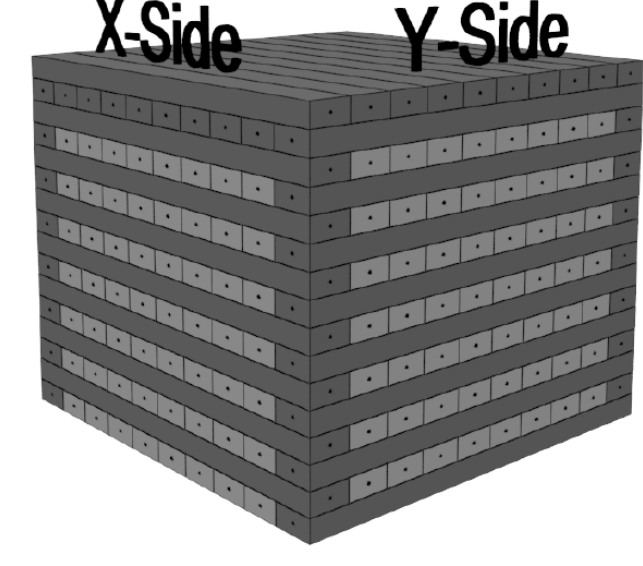


#### **PROTONES Y NEUTRONES**



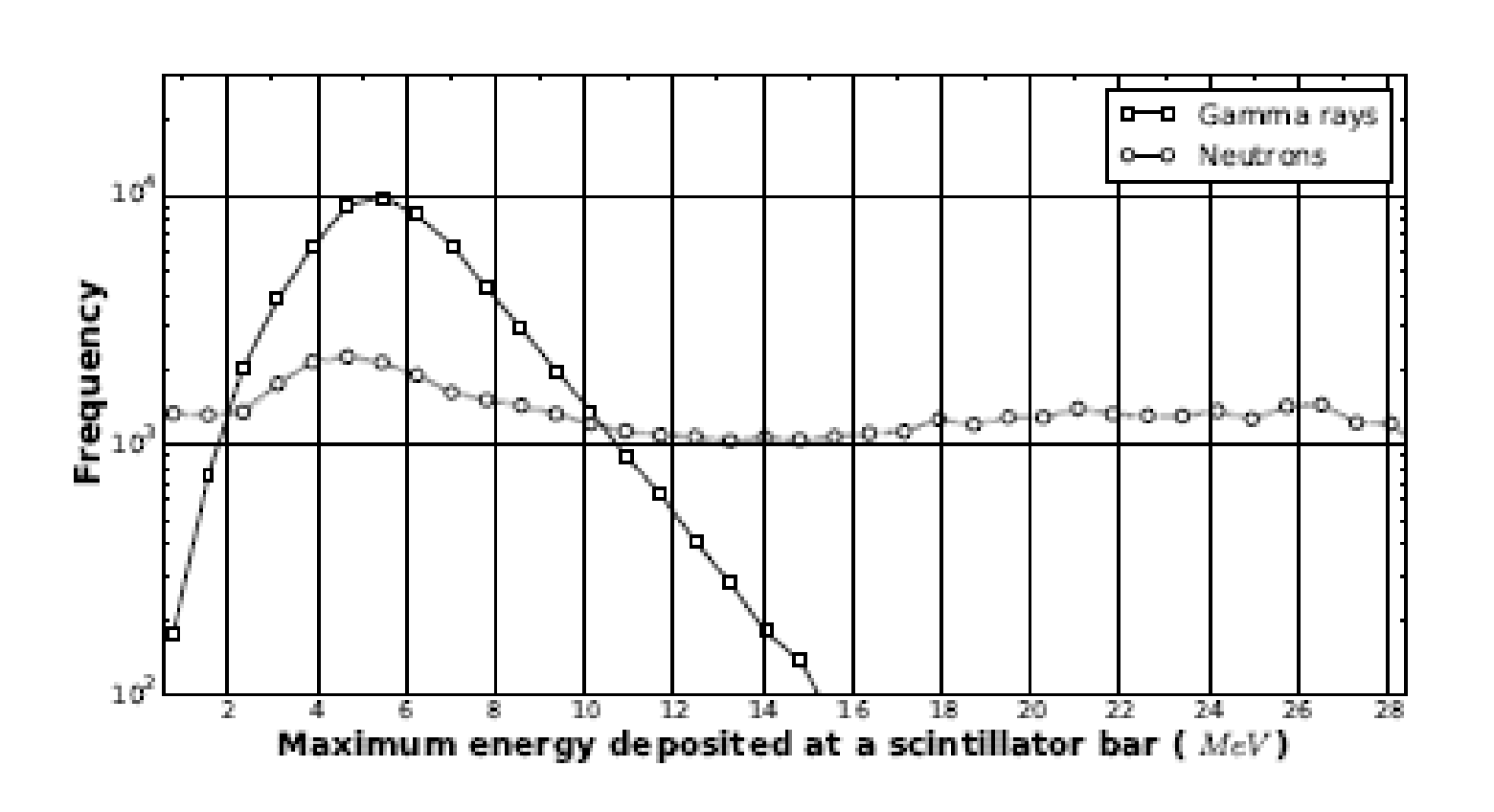
Protones identificables Por deposición de E

Neutrones Identificables por Anticoincidencia



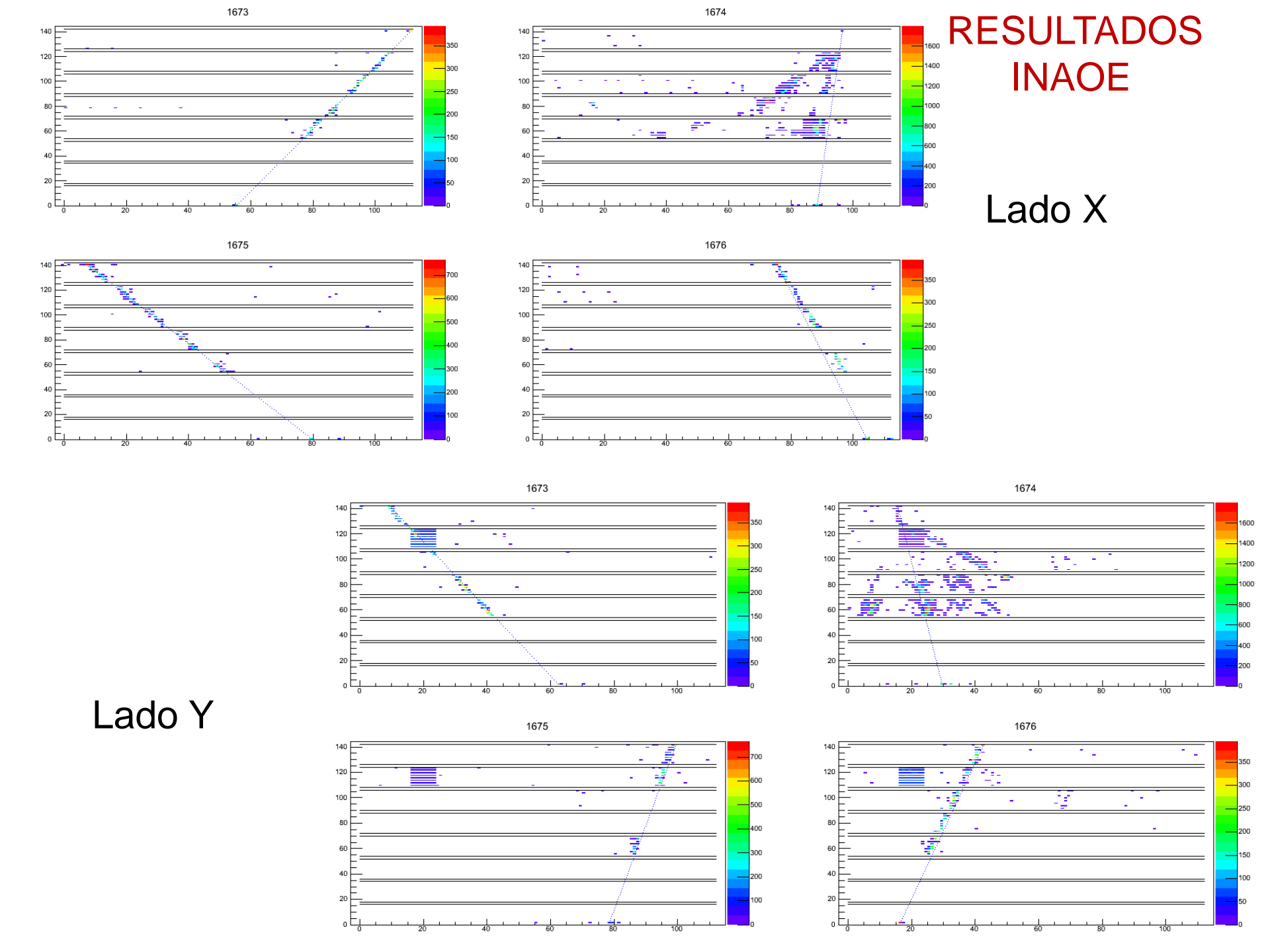
Ortiz, et. al., ASR,2016

#### **NEUTRONES Y GAMMAS**



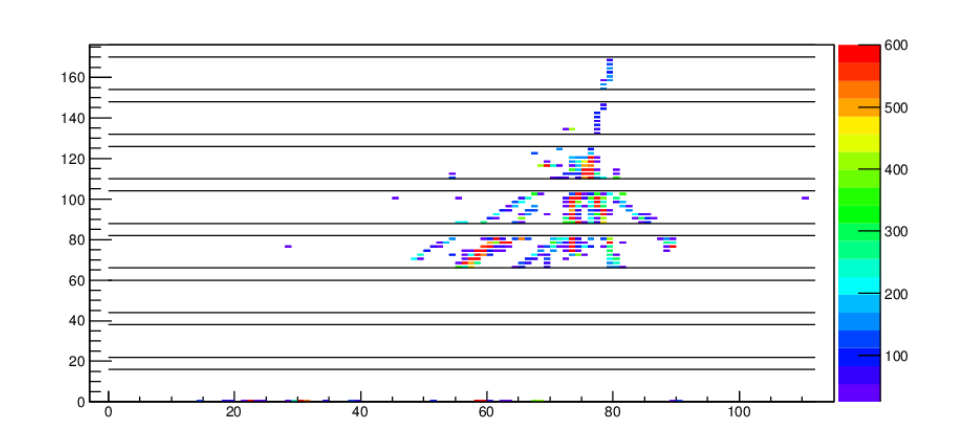


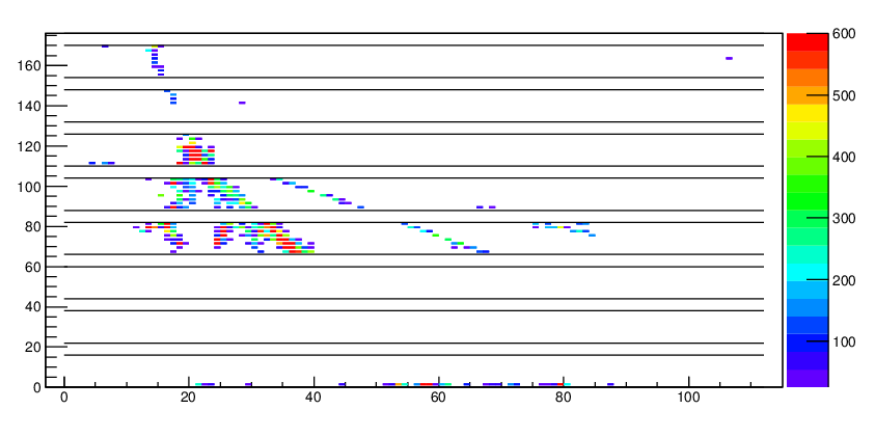




#### Traza Chubasco X

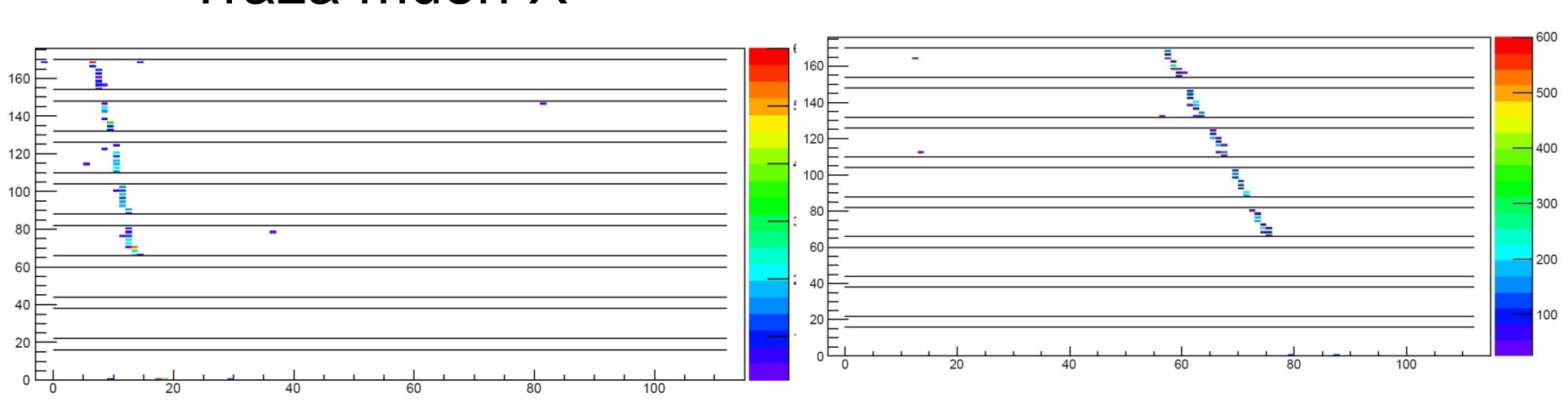
#### Traza chubasco Y



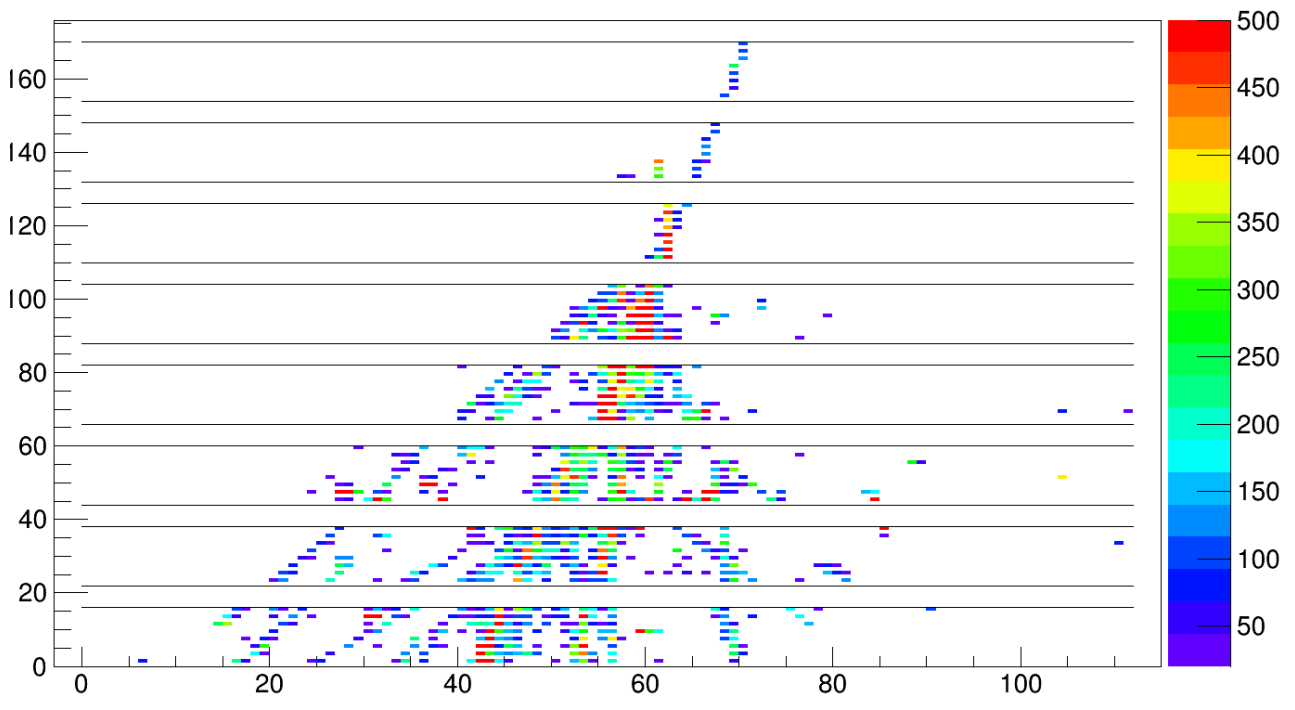


Traza muon X

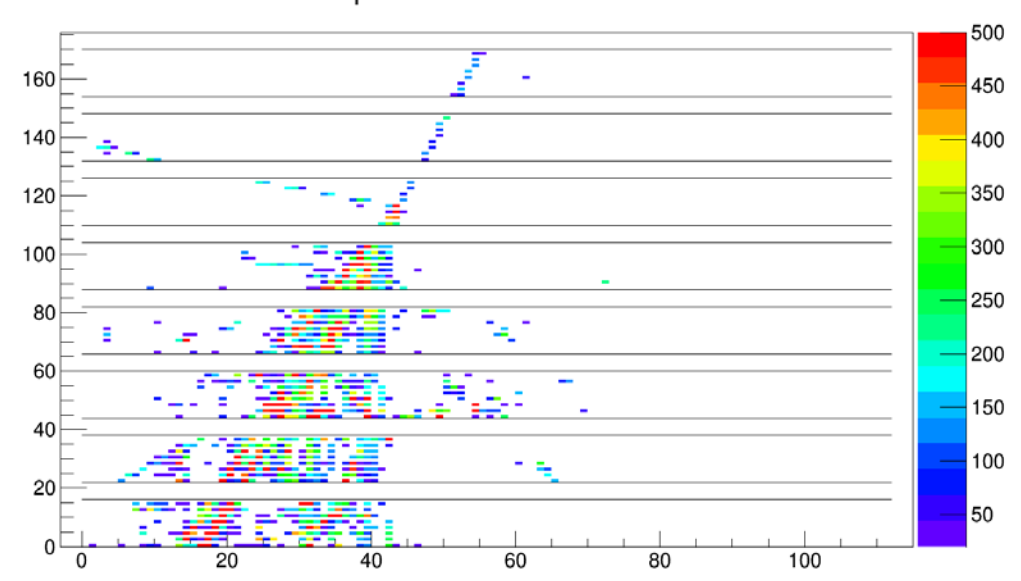
Traza muon Y



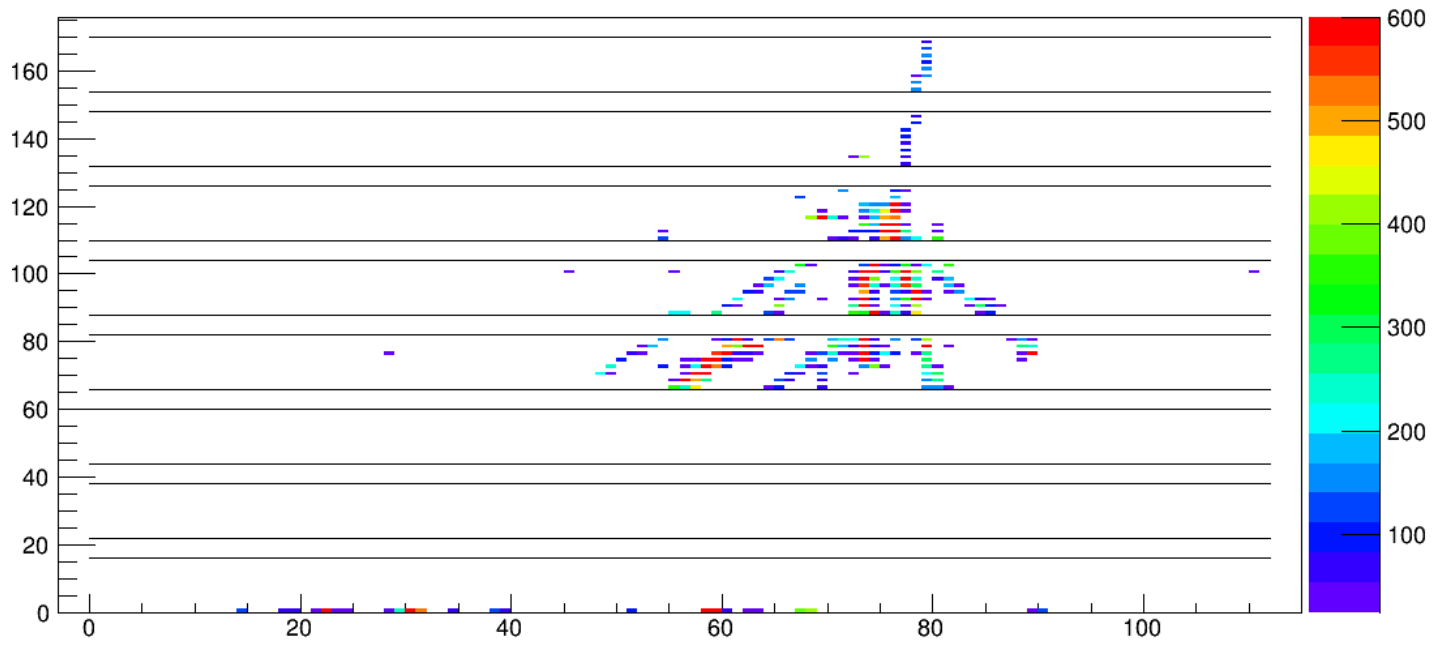
# PROTON SIMULACION MC



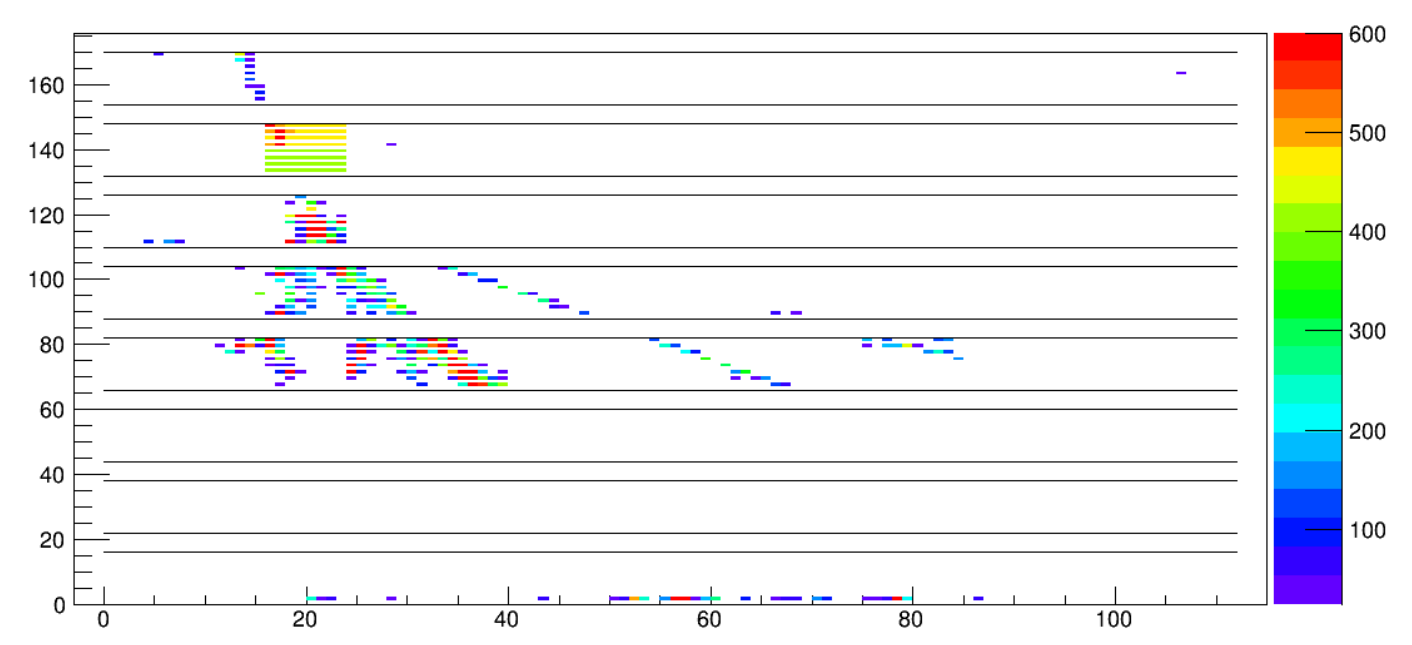






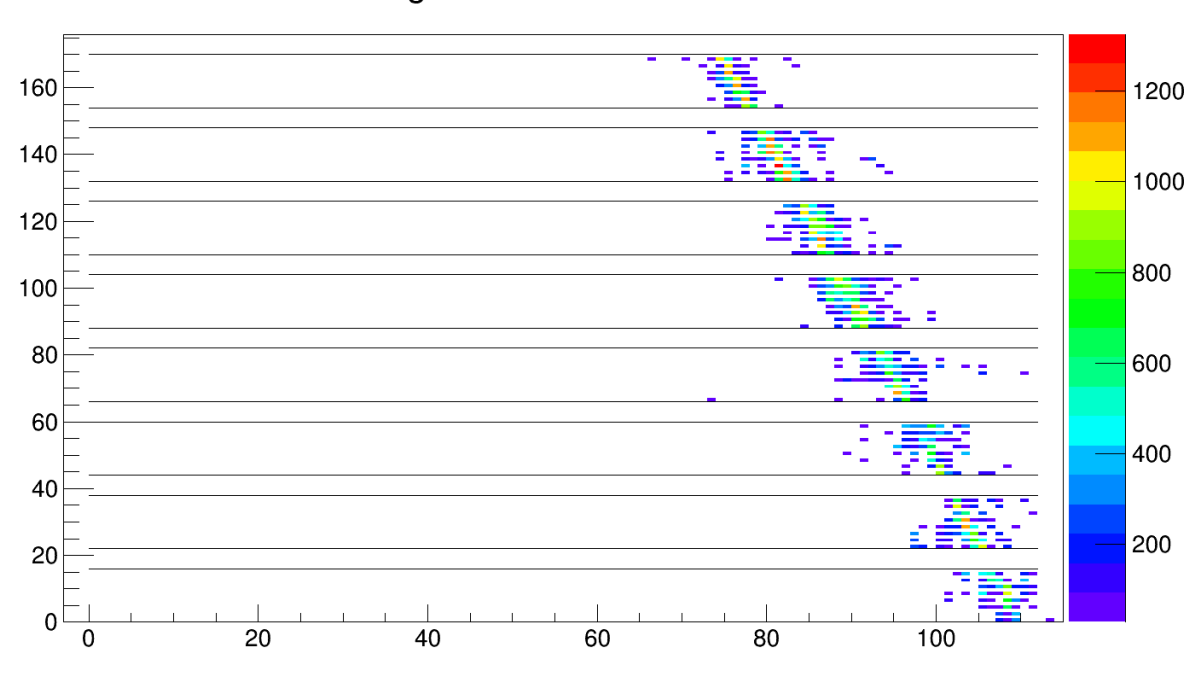




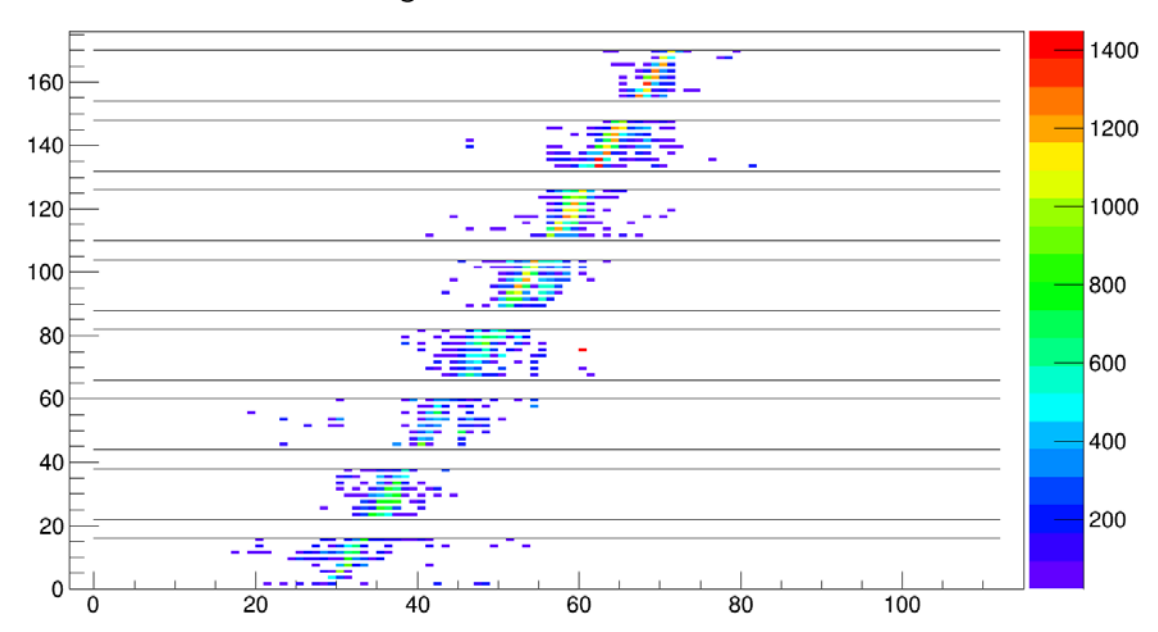


#### gamma 9737.8MeV

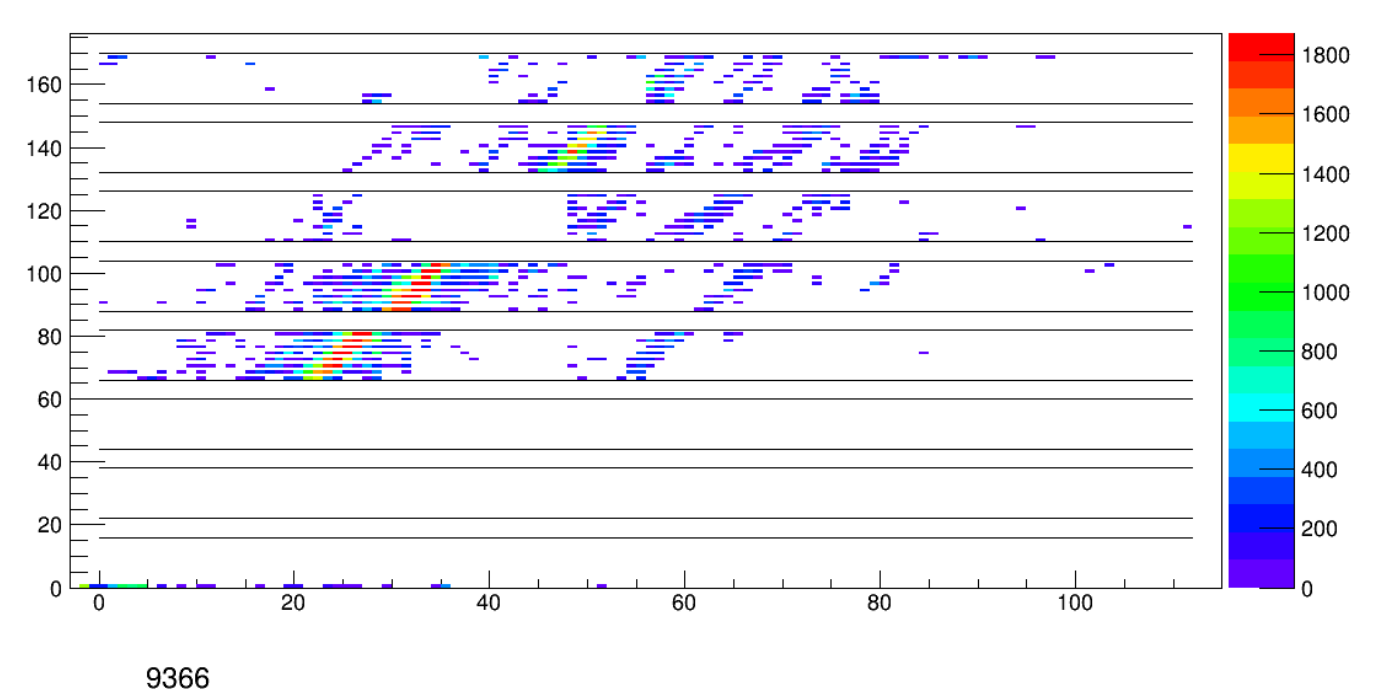
#### **GAMMAS**

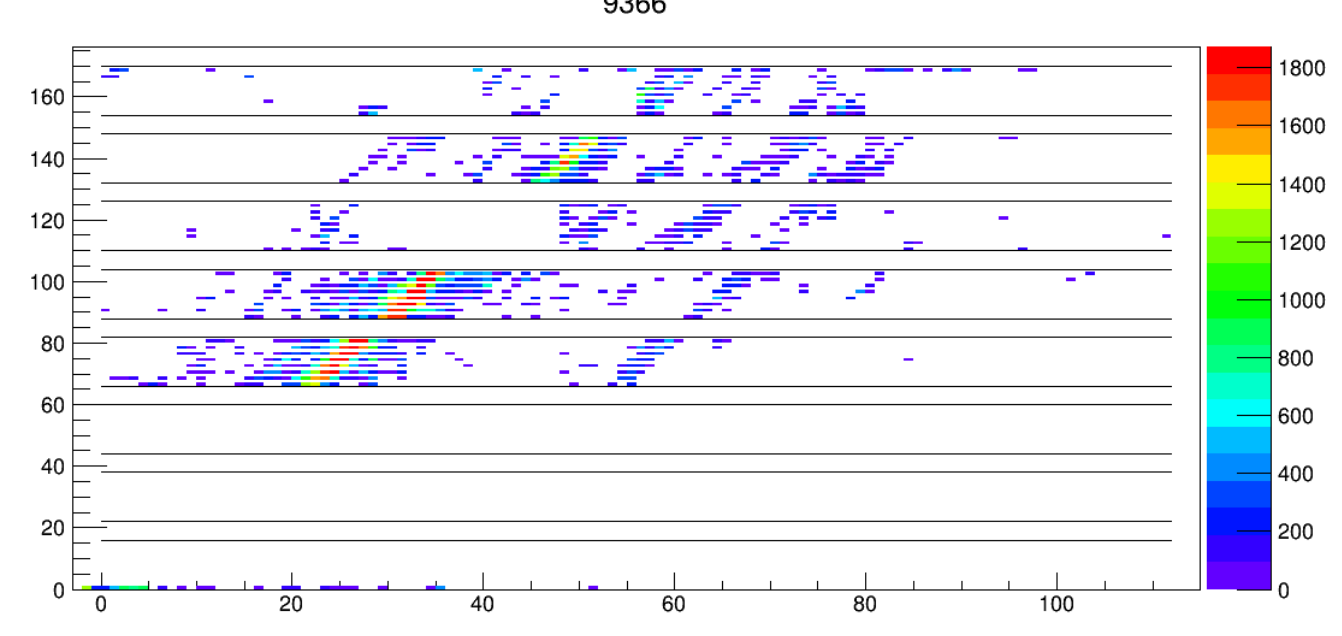


gamma 9737.8MeV



## **EVENTO MULTIPLE**





Nagai et al, Astropart. Phys., 2014

# El SciCRT tiene actualmente dos modos de operación:

- -Neutrones (solares)
- -Telescopio de muones

 Actualmente se desarrollan métodos de análisis para diferenciación de señales de partículas μ/e, Neutras/p, n/γ.

 Diferenciar rayos γ de cascadas de hadrones producidas dentro del detector.

# MUCHAS GRACIAS POR SU ATENCION!!!



